

# Лоренцева плоскость анти-де Ситтера

А.З. Али, Ю.Л. Сачков

11 июля 2024 г.

## Аннотация

В данной работе исследуется двумерная лоренцева задача на плоскости анти-де Ситтера. Используя методы геометрической теории управления и дифференциальной геометрии, удалось построить ортонормированный репер, вычислить экстремальные траектории, описать множество достижимости, построить оптимальный синтез, описать лоренцево расстояние.

## 1 Необходимые определения и полученные результаты

### 1.1 Двумерное пространство анти-де Ситтера

Рассмотрим пространство  $\mathbb{R}_2^3 = \{x = (x_1, x_2, x_3) | x_i \in \mathbb{R}\}$  с псевдоевклидовой метрикой  $ds^2 = -dx_1^2 - dx_2^2 + dx_3^2$ . Рассмотрим однополостный гиперболоид

$$H_1^2 = \{x \in \mathbb{R}_2^3 | -x_1^2 - x_2^2 + x_3^2 = -1\},$$

параметризуем его как

$$x_1 = \operatorname{ch} \theta \cos \varphi, \quad x_2 = \operatorname{ch} \theta \sin \varphi, \quad x_3 = \operatorname{sh} \theta, \quad \theta \in \mathbb{R}, \quad \varphi \in \mathbb{R}/(2\pi\mathbb{Z}), \quad (1)$$

и зададим на  $H_1^2$  лоренцеву метрику  $g = ds^2|_{H_1^2}$ .

**Определение.** Двумерное пространство анти-де Ситтера [1] есть односвязное накрывающее многообразие

$$\widetilde{H}_1^2 = \{(\varphi, \theta) \in \mathbb{R}^2\},$$

в которой задана лоренцева метрика  $\tilde{g}$ , индуцированная метрикой  $g$ .

Векторные поля  $X_1, X_2 \in \operatorname{Vec}(\widetilde{H}_1^2)$  образуют ортонормированный репер для метрики  $\tilde{g}$ , если

$$\tilde{g}(X_2, X_2) = -\tilde{g}(X_1, X_1) = 1, \quad \tilde{g}(X_1, X_2) = 0.$$

### 1.2 Выражение метрики $\tilde{g}$ и ортонормированного репера в координатах на $\widetilde{H}_1^2$

Локально метрика  $g$  совпадает с  $\tilde{g}$ . Метрика  $g$  имеет такое выражение:

$$g = d\theta^2 - \operatorname{ch}^2 \theta d\varphi^2$$

Ортонормированный репер:

$$X_1 = \frac{1}{\operatorname{ch} \theta} \frac{\partial}{\partial \varphi}, \quad X_2 = \frac{\partial}{\partial \theta}$$

### 1.3 Постановка лоренцевой задачи на $\widetilde{H}_1^2$

Лоренцевы длиннейшие для метрики  $\tilde{g}$  суть решения следующей задачи оптимального управления:

$$\dot{q} = u_1 X_1(q) + u_2 X_2(q), \quad q = (\varphi, \theta) \in M = \widetilde{H}_1^2, \quad (2)$$

$$u \in U = \{(u_1, u_2) \in \mathbb{R}^2 | u_1^2 - u_2^2 \geq 0, u_1 > 0\}, \quad (3)$$

$$q(0) = q_0 = (\varphi, \theta_0), \quad q(t_1) = q_1 = (\varphi, \theta_1), \quad (4)$$

$$J = \int_0^{t_1} \sqrt{u_1^2 - u_2^2} dt \rightarrow \max. \quad (5)$$

## 1.4 Условия принципа максимума Понтрягина для задачи на $\widetilde{H}_1^2$

Гамильтониан ПМП, где  $\nu \in \{-1, 0\}$ :

$$\begin{aligned} h_u^\nu(\lambda) &= \langle \xi_1 d\theta + \xi_2 d\varphi, u_2 \frac{\partial}{\partial \theta} + \frac{u_1}{\operatorname{ch} \theta} \frac{\partial}{\partial \varphi} \rangle - \nu \sqrt{u_1^2 - u_2^2} = \\ &= \xi_1 u_2 + \xi_2 \frac{u_1}{\operatorname{ch} \theta} - \nu \sqrt{u_1^2 - u_2^2} = h_1 u_1 + h_2 u_2 - \nu \sqrt{u_1^2 - u_2^2}, \end{aligned}$$

где  $h_1(\lambda) = \langle \lambda, X_1(q) \rangle = \frac{\xi_2}{\operatorname{ch} \theta}$ ,  $h_2(\lambda) = \langle \lambda, X_2(q) \rangle = \xi_1$ .

Условия принципа максимума Понтрягина:

1. Гамильтонова система

$$\begin{cases} \dot{\xi}_1 = -\partial_\theta h_u^\nu \\ \dot{\xi}_2 = -\partial_\varphi h_u^\nu \\ \dot{\theta} = \partial_{\xi_1} h_u^\nu \\ \dot{\varphi} = \partial_{\xi_2} h_u^\nu \end{cases} \Leftrightarrow \begin{cases} \dot{\xi}_1 = \xi_2 u_1 \frac{\operatorname{sh} \theta}{\operatorname{ch}^2 \theta} \\ \dot{\xi}_2 = 0 \\ \dot{\theta} = u_2 \\ \dot{\varphi} = \frac{u_1}{\operatorname{ch} \theta} \end{cases}$$

2. Условие максимальности

$$\xi_1 u_2 + \xi_2 \frac{u_1}{\operatorname{ch} \theta} - \nu \sqrt{u_1^2 - u_2^2} \rightarrow \max_{u \in U}$$

3. Нетривиальность

$$(\xi_1, \xi_2, \nu) \neq (0, 0, 0)$$

## 1.5 Анормальные траектории

Анормальные траектории - траектории при  $\nu = 0$ .

Получаем такие случаи, когда максимум гамильтониана существует:

$$1. \quad h_1 = h_2 = h < 0 \\ \max_{u \in U} h_u^0 = 0 \text{ при } u_1 = -u_2$$

$$2. \quad h_1 = -h_2 = h < 0 \\ \max_{u \in U} h_u^0 = 0 \text{ при } u_1 = u_2$$

Будем считать, что  $u_1 = 1$ , так как не следим за параметризацией кривой.

$$1. \quad h_1 = h_2 = h < 0, \quad u_1 = 1 = -u_2$$

$$\varphi(t) = -\operatorname{arctg} \{ \operatorname{sh}(-t + \theta_0) \} + \varphi_0 + \operatorname{arctg} \{ \operatorname{sh} \theta_0 \}, \quad \theta(t) = -t + \theta_0$$

$$2. \quad h_1 = -h_2 = h < 0, \quad u_1 = 1 = u_2$$

$$\varphi(t) = \operatorname{arctg} \{ \operatorname{sh}(t + \theta_0) \} + \varphi_0 - \operatorname{arctg} \{ \operatorname{sh} \theta_0 \}, \quad \theta(t) = t + \theta_0$$

## 1.6 Нормальные траектории

Нормальные траектории - траектории при  $\nu = -1$ .

Получаем такие случаи, когда максимум гамильтониана существует:

$$h_1 = -\operatorname{ch} \beta, \quad h_2 = \operatorname{sh} \beta, \quad u_1 = \rho \operatorname{ch} \beta, \quad u_2 = \rho \operatorname{sh} \beta, \quad \rho > 0$$

Выберем на этой кривой параметризацию таким образом, что

$$u_1^2 - u_2^2 = 1, \quad u_1 > 0 \Rightarrow u_1 = \sqrt{u_2^2 + 1}, \quad h_1 = -\sqrt{u_2^2 + 1}, \quad h_2 = u_2$$

Решение гамильтоновой системы выглядит так.

Есть первый интеграл

$$\operatorname{ch} \psi \operatorname{ch} \theta = D \geq 1$$

Случай  $D = 1$ .

Так как  $\operatorname{ch} x \geq 1$ , то оба гиперболических косинуса равны 1, поэтому  $\theta \equiv 0, \psi \equiv 0$ . Тогда  $\varphi \equiv -C_2 t + D_1$ .

Случай  $D > 1$ .

$$\varphi = \operatorname{arctg} \left( D \operatorname{tg} (t + C_0) \right) + E_0, \quad \theta = \operatorname{arsh} \left( \pm \sqrt{D^2 - 1} \sin (t + C_0) \right), \quad \psi(t) = \operatorname{arsh} \left( \pm \frac{\sqrt{D^2 - 1} \cos (t + C_0)}{\sqrt{1 + (D^2 - 1) \sin^2 (t + C_0)}} \right)$$

Решение при  $C_0 = 0, \theta(0) = 0, \varphi(0) = 0$ :

$$\psi(t) = \operatorname{arsh} \left( \frac{s_0 \cos t}{\sqrt{1 + s_0^2 \sin^2 t}} \right)$$

$$\theta(t) = \operatorname{arsh} (s_0 \sin t)$$

$$\varphi(t) = \operatorname{arctg} (c_0 \operatorname{tg} t),$$

где  $c_0 = \operatorname{ch} \psi(0), s_0 = \operatorname{sh} \psi(0)$ .

### 1.7 Продолжение решения при $t > \pi/2$

Посмотрев на полученную формулу для  $\varphi$ , можно подумать, что оно стремится к бесконечности за конечное время, но правая часть - гладкая ограниченная функция для всех  $t \geq 0$ , следовательно, и решение - гладкая функция для всех  $t \geq 0$ . Мы получаем такие формулы для продолжения:

$$\begin{cases} \theta(t) = \operatorname{arsh} (\operatorname{sh} (\psi(0)) \sin t) \\ \varphi(t) = \begin{cases} n\pi + \varphi_1(t - n\pi), & t \in [n\pi, (2n + 1)\pi/2] \\ (n + 1)\pi - \varphi_1((n + 1)\pi - t), & t \in [(2n + 1)\pi/2, (n + 1)\pi] \end{cases} \end{cases}$$

Рис. 1: График решения при  $\psi(0) = 1$

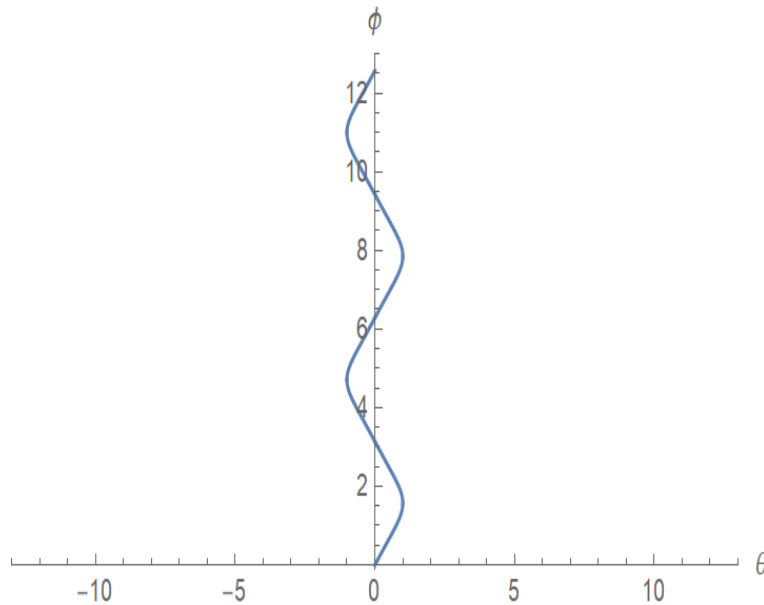
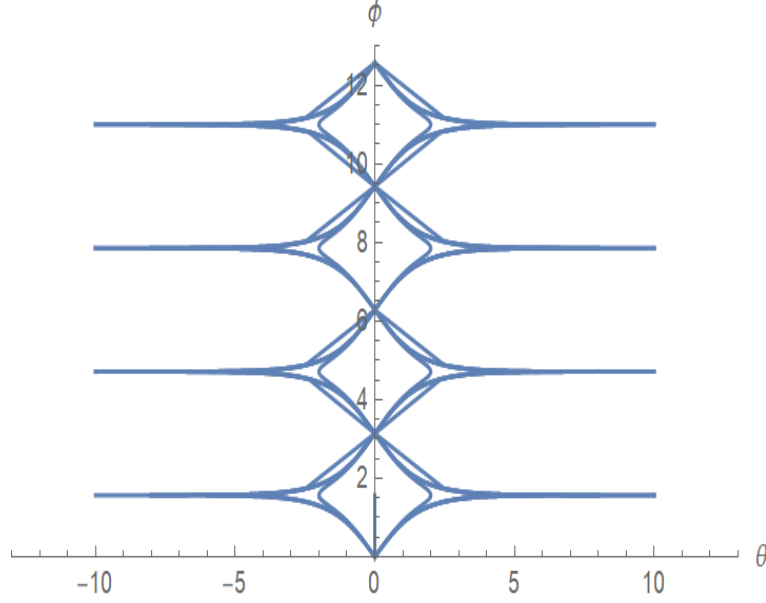


Рис. 2: Графики решений при  $\psi(0) \in \{0, \pm 2, \pm 4, \pm 6, \pm 8, \pm 10\}$



### 1.8 Экспоненциальное отображение и его свойства

Экспоненциальное отображение, определяемое следующими формулами:

$$\begin{cases} \theta(t) = \operatorname{arsh}(\operatorname{sh}(\psi(0)) \sin t) \\ \varphi(t) = \begin{cases} \operatorname{arctg}(\operatorname{ch}(\psi(0)) \operatorname{tg} t), & t \in (0, \pi/2) \\ \pi/2, & t = \pi/2 \\ \pi - \operatorname{arctg}(\operatorname{ch}(\psi(0)) [\operatorname{tg}(\pi - t)]), & t \in (\pi/2, \pi) \end{cases} \end{cases}$$

задаёт диффеоморфизм областей

$$A' = \{(\psi_0, t_0) : \psi_0 \in \mathbb{R}, t_0 \in (0, \pi)\} \text{ и } C' = \{(\theta, \varphi) \in \mathbb{R}^2 : \operatorname{arctg} \operatorname{sh} \theta < \varphi < \pi - \operatorname{arctg} \operatorname{sh} \theta\}.$$

### 1.9 Множество достижимости из точки $\theta = 0, \varphi = 0$

Множество достижимости это:

$$V = \{(\theta, \varphi) \in \mathbb{R}^2 : \varphi \geq \operatorname{arctg}(\operatorname{sh}|\theta|)\}$$

### 1.10 Область существования оптимальных траекторий

Множество достижимости оптимальных траекторий из произвольной  $q_0$  это множество:

$$B_{q_0} = \{(\theta, \varphi) \in M | \varphi_0 + \pi - \operatorname{arctg} \operatorname{sh} |\theta - \theta_0| > \varphi \geq \varphi_0 + \operatorname{arctg} \operatorname{sh} |\theta - \theta_0|\}$$

### 1.11 Оптимальный синтез на нижней границе области $C'$

Пусть  $\varphi_1 = \arcsin(\operatorname{sh} \theta_1)$ ,  $(\varphi_1, \theta_1) \neq (0, 0)$ . Двигаться можно только по границе. Любой точке на нижней границе соответствуют аномальные траектории: Если  $\theta_1 > 0$ , то выбираем эту формулу:

$$\theta(t) = t, \varphi(t) = \arcsin \operatorname{sh}(t), u_1 = u_2$$

Если  $\theta_1 < 0$ , то выбираем эту формулу:

$$\theta(t) = -t, \varphi(t) = -\arcsin \operatorname{sh}(-t), u_1 = -u_2$$

Отметим, что их длина равна 0, так как  $u_1^2 - u_2^2 = 0$ .

### 1.12 Оптимальный синтез в области $C'$

Момент, в который мы достигаем точки  $q_1 = (\theta_1, \varphi_1) \in C'$ :

$$t_{q_1} = \begin{cases} \arcsin \sqrt{\frac{\operatorname{tg}^2 \varphi_1 - \operatorname{sh}^2 \theta_1}{1 + \operatorname{tg}^2 \varphi_1}}, & \varphi_1 \in (0, \pi/2) \\ \pi/2, & \varphi_1 = \pi/2 \\ \pi - \arcsin \sqrt{\frac{\operatorname{tg}^2 \varphi_1 - \operatorname{sh}^2 \theta_1}{1 + \operatorname{tg}^2 \varphi_1}}, & \varphi_1 \in (\pi/2, \pi) \end{cases}$$

Оптимальная траектория, соединяющая точки  $(0, 0)$  и  $q_1 = (\theta_1, \varphi_1) \in C'$ .

Если  $t_{q_1} < \pi/2$ , то

$$\begin{cases} \theta(t) = \operatorname{arsh} \left( \operatorname{sh}(\psi_{q_1}) \sin t \right) \\ \varphi(t) = \operatorname{arctg} \left( \operatorname{ch}(\psi_{q_1}) \operatorname{tg} t \right), & t \in (0, t_{q_1}) \end{cases}$$

Если  $t_{q_1} = \pi/2$ , то

$$\begin{cases} \theta(t) = \operatorname{arsh} \left( \operatorname{sh}(\psi_{q_1}) \sin t \right) \\ \varphi(t) = \begin{cases} \operatorname{arctg} \left( \operatorname{ch}(\psi_{q_1}) \operatorname{tg} t \right), & t \in (0, t_{q_1}) \\ \pi/2 \end{cases} \end{cases}$$

Если  $\pi/2 < t_{q_1} < \pi$ , то

$$\begin{cases} \theta(t) = \operatorname{arsh} \left( \operatorname{sh}(\psi_{q_1}) \sin t \right) \\ \varphi(t) = \begin{cases} \operatorname{arctg} \left( \operatorname{ch}(\psi_{q_1}) \operatorname{tg} t \right), & t \in (0, \pi/2) \\ \pi/2, & t = \pi/2 \\ \pi - \operatorname{arctg} \left( \operatorname{ch}(\psi_{q_1}) [\operatorname{tg}(\pi - t)] \right), & t \in (\pi/2, t_{q_1}), \end{cases} \end{cases}$$

где

$$\psi_{q_1} = \operatorname{arsh} \left( \operatorname{sh} \theta_1 \sqrt{\frac{1 + \operatorname{tg}^2 \varphi_1}{\operatorname{tg}^2 \varphi_1 - \operatorname{sh}^2 \theta_1}} \right)$$

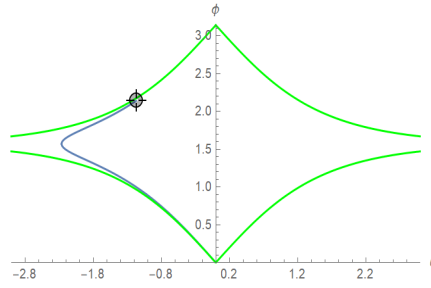
Отметим, что лоренцево расстояние до точки  $q_1$  равно  $t_{q_1}$ , так как  $u_1^2 - u_2^2 = 1$ .

### 1.13 Программа для Wolfram Mathematica для вычисления траектории в области $C'$

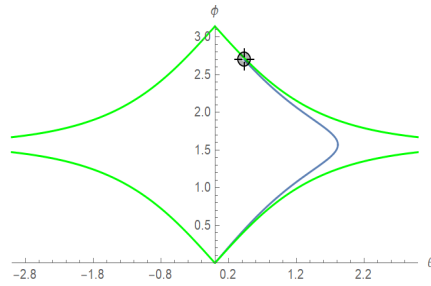
Некоторые графики, полученные с помощью написанной программы. Код написан в секции 2.13.

Рис. 3: Графики оптимальных траекторий

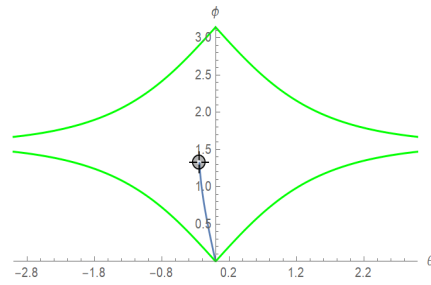
(а) Пример 1



(b) Пример 2



(c) Пример 3



### 1.14 Точки выше верхней границы $C'$

Для точек  $(\theta_1, \varphi_1)$ , таких что  $\varphi_1 > \pi - \arctg(\operatorname{sh}|\theta_1|)$ , не существует оптимальной траектории. Лоренцево расстояние до них равно  $+\infty$ .

### 1.15 Точки верхней границы $C'$

Для точек  $(\theta_1, \varphi_1)$ , таких что  $\varphi = \pi - \arctg(\operatorname{sh}|\theta_1|)$  лоренцево расстояние равно  $\pi$ . Но только для точки  $(0, \pi)$  существуют оптимальные траектории, причём их континуум. Для других точек этой кривой нет оптимальных траекторий.

### 1.16 Поля Киллинга

**Определение.** Векторное поле называется *полем Киллинга*, если производная Ли метрики вдоль него равно нулю.

Векторное поле Киллинга является таковым тогда и только тогда, когда удовлетворяет уравнению:

$$X(g(V, W)) = g([X, V], W) + g(V, [X, W]),$$

где  $V, W$  - векторные поля, а  $g$  - метрика [6].

Также векторные поля Киллинга образуют подалгебру Ли в алгебре Ли всех векторных полей на многообразии, причём для Лоренцева многообразия постоянной кривизны размерность равна  $\frac{n(n+1)}{2}$ , где  $n$  - размерность многообразия [6].

В нашем случае алгебра полей Киллинга 3-мерна и её базисные вектора:

$$\hat{X}_1 = \text{ch } \theta X_1 = \partial_\varphi, \quad \hat{X}_2 = \text{sh } \theta \cos \varphi X_1 + \sin \varphi X_2, \quad \hat{X}_3 = -\text{sh } \theta \sin \varphi X_1 + \cos \varphi X_2$$

Для них верны такие соотношения:

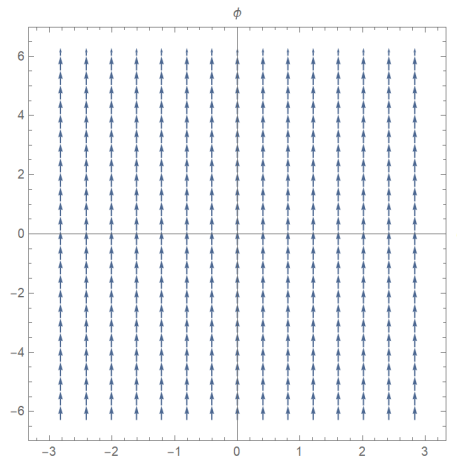
$$[\hat{X}_1, \hat{X}_2] = \hat{X}_3, \quad [\hat{X}_2, \hat{X}_3] = -\hat{X}_1, \quad [\hat{X}_3, \hat{X}_1] = \hat{X}_2$$

Поэтому алгебра полей Киллинга изоморфна  $\mathfrak{sl}(2)$  [7].

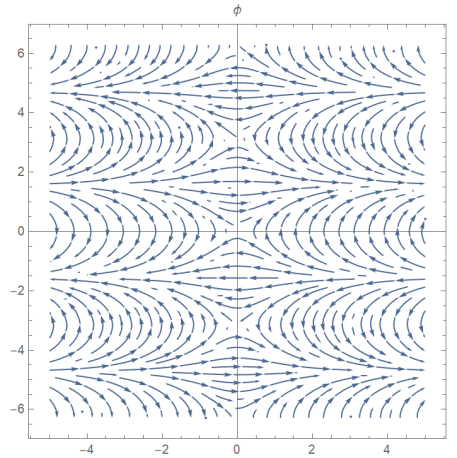
### 1.17 Фазовые портреты полей Киллинга

Рис. 4: Траектории полей Киллинга

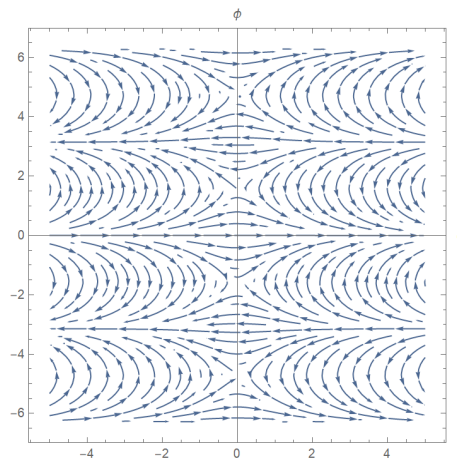
(a) Траектории  $\hat{X}_1$



(b) Траектории  $\hat{X}_2$



(c) Траектории  $\hat{X}_3$



## 1.18 Как посчитать лоренцево расстояние между произвольными двумя точками $\widetilde{H}_1^2$ ?

Предположим, что мы хотим посчитать расстояние между точками  $q_0$  и  $q_1$ . Тогда мы перенесём точку  $q_0$  в  $(0, 0) = q'_0$  вдоль траекторий полей Киллинга по определённому маршруту, а точку  $q_1$  в точку  $q'_1$  параллельно этому маршруту. Тогда  $d(q_0, q_1) = d(q'_0, q'_1)$ , так как значение метрики не меняется при переносе вдоль полей Киллинга. Мне удалось пока что только построить маршрут движения. Траектории полей Киллинга вычислить пока не получилось.

## 2 Вычисления и обоснования

В этой части номер подсекции совпадает с номером подсекции первой части, для обоснования результатов которой приведены соответствующие вычисления и соображения.

### 2.1 Двумерное пространство анти-де Ситтера

В этой подсекции нет фактов, которые надо обосновывать.

### 2.2 Выражение метрики $\tilde{g}$ и ортонормированного репера в координатах на $\widetilde{H}_1^2$

Первым делом найдём  $g$ . Она локально совпадает с  $\tilde{g}$ .

$$dx_1 = \text{sh } \theta \cos \varphi d\theta - \text{ch } \theta \sin \varphi d\varphi, \quad dx_2 = \text{sh } \theta \sin \varphi d\theta + \text{ch } \theta \cos \varphi d\varphi, \quad dx_3 = \text{ch } \theta d\theta$$

Тогда

$$\begin{aligned} g &= -\left(\text{sh } \theta \cos \varphi d\theta - \text{ch } \theta \sin \varphi d\varphi\right)^2 - \left(\text{sh } \theta \sin \varphi d\theta + \text{ch } \theta \cos \varphi d\varphi\right)^2 + \left(\text{ch } \theta d\theta\right)^2 = \\ &= -\left(\text{sh}^2 \theta \cos^2 \varphi d\theta^2 - \text{sh } \theta \cos \varphi \text{ch } \theta \sin \varphi (d\theta d\varphi + d\varphi d\theta) + \text{ch}^2 \theta \sin^2 \varphi d\varphi^2\right) - \\ &\quad -\left(\text{sh}^2 \theta \sin^2 \varphi d\theta^2 + \text{sh } \theta \sin \varphi \text{ch } \theta \cos \varphi (d\theta d\varphi + d\varphi d\theta) + \text{ch}^2 \theta \cos^2 \varphi d\varphi^2\right) + \\ &\quad + \text{ch}^2 \theta d\theta^2 = -\text{sh}^2 \theta (\cos^2 \varphi + \sin^2 \varphi) d\theta^2 - \text{ch}^2 \theta (\sin^2 \varphi + \cos^2 \varphi) d\varphi^2 + \text{ch}^2 \theta d\theta^2 = \\ &= (\text{ch}^2 \theta - \text{sh}^2 \theta) d\theta^2 - \text{ch}^2 \theta d\varphi^2 = d\theta^2 - \text{ch}^2 \theta d\varphi^2 \end{aligned}$$

Теперь найдём собственные векторы, а потом откалибруем их длину по этой метрике.

Видно, что собственные числа  $\lambda_1 = 1$ ,  $\lambda_2 = -\text{ch}^2 \theta$ . Тогда собственные векторы, например, такие:

$$v_1 = \frac{\partial}{\partial \theta}, \quad v_2 = \frac{\partial}{\partial \varphi}$$

Но

$$g(v_1, v_1) = 1, \quad g(v_2, v_2) = -\text{ch}^2 \theta, \quad g(v_1, v_2) = g(v_2, v_1) = 0,$$

а нам надо:

$$\tilde{g}(X_2, X_2) = -\tilde{g}(X_1, X_1) = 1, \quad \tilde{g}(X_1, X_2) = 0$$

Поэтому

$$X_1 = \frac{1}{\text{ch } \theta} \frac{\partial}{\partial \varphi}, \quad X_2 = \frac{\partial}{\partial \theta}$$

### 2.3 Постановка лоренцевой задачи на $\widetilde{H}_1^2$

В этой подсекции нет фактов, которые надо обосновывать.

### 2.4 Условия принципа максимума Понтрягина для задачи на $\widetilde{H}_1^2$

В этой подсекции нет фактов, которые надо обосновывать.



## 2.5 Анормальные траектории

Анормальные траектории при  $\nu = 0$ :

Гамильтониан ПМП, где  $\nu = 0$ :

$$h_u^0(\lambda) = \xi_1 u_2 + \xi_2 \frac{u_1}{\operatorname{ch} \theta}$$

Условия принципа максимума Понтрягина:

1. Гамильтонова система

$$\begin{cases} \dot{\xi}_1 = \xi_2 u_1 \frac{\operatorname{sh} \theta}{\operatorname{ch}^2 \theta} \\ \dot{\xi}_2 = 0 \\ \dot{\theta} = u_2 \\ \dot{\varphi} = \frac{u_1}{\operatorname{ch} \theta} \end{cases}$$

2. Условие максимальности

$$\xi_1 u_2 + \xi_2 \frac{u_1}{\operatorname{ch} \theta} \rightarrow \max_{u \in U}$$

3. Нетривиальность

$$(\xi_1, \xi_2) \neq (0, 0)$$

Введём линейные гамильтонианы  $h_1(\lambda) = \langle \lambda, X_1(q) \rangle = \frac{\xi_2}{\operatorname{ch} \theta}$ ,  $h_2(\lambda) = \langle \lambda, X_2(q) \rangle = \xi_1$ .

### 2.5.1 Условие максимальности

Записав условие максимальности через  $h_1$ ,  $h_2$ :

$$h_1 u_1 + h_2 u_2 \rightarrow \max_{u \in U}$$

поймём, когда максимум существует (принимает конечное значение) и при каких  $h_1$ ,  $h_2$ ,  $u_1$ ,  $u_2$  он достигается. Рассмотрим такие случаи:

1.  $h_2 \equiv 0$ ,  $h_1 \neq 0$

$$h_u^0 = h_1 u_1 \rightarrow \begin{cases} +\infty, & h_1 > 0, \text{ при } u_1 \rightarrow +\infty \\ 0, & h_1 < 0, \text{ при } u_1 \rightarrow 0 \end{cases}$$

То есть максимум в данном случае не достигается.

2.  $h_1 \equiv 0$ ,  $h_2 \neq 0$

$$h_u^0 = h_2 u_2 \rightarrow \begin{cases} +\infty, & h_2 > 0, \text{ при } u_2 \rightarrow +\infty \\ +\infty, & h_2 < 0, \text{ при } u_2 \rightarrow -\infty \end{cases}$$

То есть максимум в этом случае тоже не достигается.

3.  $h_1 = h_2 = h \neq 0$

$$h_u^0 = h(u_1 + u_2)$$

$h > 0$

$$h_u^0 \rightarrow +\infty, \quad u_1, u_2 \rightarrow +\infty$$

То есть максимум в данном случае не достигается.

$h < 0$

$h_u^0 > 0$  при  $u_1 + u_2 < 0$ , но так быть не может в силу определения множества  $U$

Значит, что

$$\max_{u \in U} h_u^0 = 0 \text{ при } u_1 = -u_2$$

4.  $h_1 = -h_2 = h \neq 0$

$$h_u^0 = h(u_1 - u_2)$$

$h > 0$

$$h_u^0 \rightarrow +\infty \text{ при } u_2 = 0, u_1 \rightarrow +\infty$$

То есть максимум в данном случае не достигается.

$h < 0$

$$h_u^0 > 0 \text{ при } u_1 - u_2 < 0, \text{ но так быть не может в силу определения множества } U$$

Значит, что

$$\max_{u \in U} h_u^0 = 0 \text{ при } u_1 = u_2$$

5.  $h_1 > 0$

$$h_u^0 = h_1 u_1 + h_2 u_2 \rightarrow +\infty \text{ при } u_2 = 0, u_1 \rightarrow +\infty$$

То есть максимум в данном случае не достигается.

6.  $h_1 < 0, h_2 > 0, -h_1 < h_2$

$$h_u^0 = h_1 u_1 + h_2 u_2$$

При  $u_2 = u_1$

$$h_u^0 = u_1(h_1 + h_2) \rightarrow +\infty \text{ при } u_1 \rightarrow +\infty$$

То есть максимум в данном случае не достигается.

7.  $h_1 < 0, h_2 < 0, h_2 < h_1$

$$h_u^0 = h_1 u_1 + h_2 u_2 \rightarrow +\infty \text{ при } -u_2 = u_1 \rightarrow +\infty$$

При  $u_2 = -u_1$

$$h_u^0 = u_1(h_1 - h_2) \rightarrow +\infty \text{ при } u_1 \rightarrow +\infty$$

То есть максимум в данном случае не достигается.

8.  $h_1 < 0, h_2 > 0, h_2 < -h_1$

Так как

$$\begin{cases} |h_1| > h_2 \\ u_1 \geq |u_2| \end{cases} \Rightarrow |h_1|u_1 \geq h_2|u_2|, \text{ но } h_1 < 0, h_2 > 0, \text{ поэтому}$$

максимум достигается при  $u_2 = u_1$

$$h_u^0 = u_1(h_1 + h_2) \rightarrow 0 \text{ при } u_1 \rightarrow 0$$

То есть максимум в данном случае не достигается.

9.  $h_1 < 0, h_2 < 0, h_1 < h_2$  Так как

$$\begin{cases} |h_1| > |h_2| \\ u_1 \geq |u_2| \end{cases} \Rightarrow |h_1|u_1 \geq |h_2||u_2|, \text{ но } h_1 < 0, h_2 < 0, \text{ поэтому}$$

максимум достигается при  $u_2 = -u_1$

$$h_u^0 = u_1(h_1 + h_2) \rightarrow 0 \text{ при } u_1 \rightarrow 0$$

То есть максимум в данном случае не достигается.

В итоге получаем такие случаи, когда максимум существует:

1.  $h_1 = h_2 = h < 0$

$$\max_{u \in U} h_u^0 = 0 \text{ при } u_1 = -u_2$$

2.  $h_1 = -h_2 = h < 0$

$$\max_{u \in U} h_u^0 = 0 \text{ при } u_1 = u_2$$

### 2.5.2 Гамильтонова система

Решим систему уравнений.

Из системы сразу следует, что

$$\xi_2 \equiv const = c_2$$

Будем считать, что  $u_1 = 1$ , так как не следим за параметризацией кривой.

1.

$$\begin{cases} \dot{\xi}_1 = \xi_2 \frac{\text{sh} \theta}{\text{ch}^2 \theta} \\ \dot{\xi}_2 = 0 \\ \dot{\theta} = -1 \\ \dot{\varphi} = \frac{1}{\text{ch} \theta} \end{cases}$$

$$h_2 = \xi_1 = \frac{\xi_2}{\text{ch} \theta} = \frac{c_2}{\text{ch} \theta} = h_1 < 0 \Rightarrow c_2 < 0, \xi_1 = \frac{c_2}{\text{ch} \theta}$$

$\xi_1, \xi_2$  мы нашли, теперь найдём  $\theta, \varphi$ . Разделим третье уравнение на четвёртое.

$$\frac{d\theta}{d\varphi} = -\text{ch} \theta \Leftrightarrow -\frac{d\theta}{\text{ch} \theta} = d\varphi$$

$$\begin{aligned} \int \frac{d\theta}{\text{ch} \theta} &= \int \frac{\text{ch} \theta d\theta}{\text{ch}^2 \theta} = \int \frac{\text{ch} \theta d\theta}{1 + \text{sh}^2 \theta} = \{\text{sh} \theta = \gamma, \text{ch} \theta d\theta = d\gamma\} = \int \frac{d\gamma}{\gamma^2 + 1} = \\ &= \text{arctg} \gamma + D_0 = \text{arctg} \{\text{sh} \theta\} + D_0 \end{aligned}$$

Тогда

$$-\text{arctg} \{\text{sh} \theta\} + D_0 = \varphi$$

Так как  $\theta(0) = \theta_0, \varphi(0) = \varphi_0$ , то

$$D_0 = \varphi_0 + \text{arctg} \{\text{sh} \theta_0\}$$

Так как  $\dot{\theta} = -1$ , то

$$\theta(t) = \int_0^t (-1) ds + D_1 = -t + D_1$$

Так как  $\theta(0) = \theta_0$ , то

$$D_1 = \theta_0$$

Поэтому

$$\varphi(t) = -\text{arctg} \{\text{sh}(-t + \theta_0)\} + \varphi_0 + \text{arctg} \{\text{sh} \theta_0\}, \theta(t) = -t + \theta_0$$

2.

$$\begin{cases} \dot{\xi}_1 = \xi_2 \frac{\text{sh} \theta}{\text{ch}^2 \theta} \\ \dot{\xi}_2 = 0 \\ \dot{\theta} = 1 \\ \dot{\varphi} = \frac{1}{\text{ch} \theta} \end{cases}$$

$$-\xi_1 = \frac{\xi_2}{\text{ch} \theta} = \frac{c_2}{\text{ch} \theta} < 0 \Rightarrow c_2 < 0, \xi_1 = -\frac{c_2}{\text{ch} \theta}$$

$\xi_1, \xi_2$  мы нашли, теперь найдём  $\theta, \varphi$ . Разделим третье уравнение на четвёртое.

$$\frac{d\theta}{d\varphi} = \text{ch} \theta \Leftrightarrow \frac{d\theta}{\text{ch} \theta} = d\varphi$$

Тогда

$$\varphi = \text{arctg} \{\text{sh} \theta\} + D_2$$

Так как  $\theta(0) = \theta_0, \varphi(0) = \varphi_0$ , то

$$D_2 = \varphi_0 - \text{arctg} \{\text{sh} \theta_0\}$$

Так как  $\dot{\theta} = 1$ , то

$$\theta(t) = \int_0^t ds + D_3 = t + D_3$$

Так как  $\theta(0) = \theta_0$ , то

$$D_3 = \theta_0$$

Поэтому

$$\varphi(t) = \operatorname{arctg} \{ \operatorname{sh}(t + \theta_0) \} + \varphi_0 - \operatorname{arctg} \{ \operatorname{sh} \theta_0 \}, \quad \theta(t) = t + \theta_0$$

## 2.6 Нормальные траектории

Нормальные траектории при  $\nu = -1$ :

Гамильтониан ПМП, где  $\nu = -1$ :

$$h_u^0(\lambda) = \xi_1 u_2 + \xi_2 \frac{u_1}{\operatorname{ch} \theta} + \sqrt{u_1^2 - u_2^2}$$

Условия принципа максимума Понтрягина:

1. Гамильтонова система

$$\begin{cases} \dot{\xi}_1 = \xi_2 u_1 \frac{\operatorname{sh} \theta}{\operatorname{ch}^2 \theta} \\ \dot{\xi}_2 = 0 \\ \dot{\theta} = u_2 \\ \dot{\varphi} = \frac{u_1}{\operatorname{ch} \theta} \end{cases}$$

2. Условие максимальности

$$\xi_1 u_2 + \xi_2 \frac{u_1}{\operatorname{ch} \theta} + \sqrt{u_1^2 - u_2^2} \rightarrow \max_{u \in U}$$

3. Нетривиальность

$$(\xi_1, \xi_2) \neq (0, 0)$$

### 2.6.1 Условие максимальности

Записав условие максимальности через  $h_1 = \frac{\xi_2}{\operatorname{ch} \theta}$ ,  $h_2 = \xi_1$ :

$$h_1 u_1 + h_2 u_2 + \sqrt{u_1^2 - u_2^2} \rightarrow \max_{u \in U}$$

поймём, когда максимум существует (принимает конечное значение) и при каких  $h_1$ ,  $h_2$ ,  $u_1$ ,  $u_2$  он достигается. Рассмотрим такие случаи:

1.  $h_1 > 0$ ,  $h_1 > |h_2|$

$$\begin{cases} u_1 = \rho \operatorname{ch} \alpha \\ u_2 = \rho \operatorname{sh} \alpha \end{cases} \quad \text{и} \quad \begin{cases} h_1 = r \operatorname{ch} \beta \\ h_2 = r \operatorname{sh} \beta \end{cases}$$

$$h_u^{-1} = r \rho \operatorname{ch} \alpha \operatorname{ch} \beta + r \rho \operatorname{sh} \alpha \operatorname{sh} \beta + \rho = \rho(r \operatorname{ch}(\alpha + \beta) + 1) \rightarrow +\infty \text{ при } \rho \rightarrow +\infty$$

В этом случае максимум не достигается.

2.  $h_1 > 0$ ,  $h_2 = \pm h_1 = \pm h$

$$\begin{cases} u_1 = \rho \operatorname{ch} \alpha \\ u_2 = \rho \operatorname{sh} \alpha \end{cases}$$

$$h_u^{-1} = h \rho (\operatorname{ch} \alpha \pm \operatorname{sh} \alpha) + \rho = \rho (h (\operatorname{ch} \alpha \pm \operatorname{sh} \alpha) + 1) \rightarrow +\infty \text{ при } \alpha = 0, \rho \rightarrow +\infty$$

В этом случае максимум не достигается.

3.  $|h_2| > h_1 \Leftrightarrow h_1^2 - h_2^2 < 0$

Введём координаты

$$\begin{cases} u_1 = \rho \operatorname{ch} \alpha \\ u_2 = \rho \operatorname{sh} \alpha \end{cases} \quad \text{и} \quad \begin{cases} h_1 = r \operatorname{sh} \beta \\ h_2 = \pm r \operatorname{ch} \beta \end{cases}$$

Тогда гамильтониан переписывается:

$$\begin{aligned} h_u^{-1} &= h_1 u_1 + h_2 u_2 + \sqrt{u_1^2 - u_2^2} = r \rho \operatorname{sh} \beta \operatorname{ch} \alpha \pm r \rho \operatorname{sh} \alpha \operatorname{ch} \beta + \rho = \\ &= \begin{cases} \rho(1 + r \operatorname{sh}(\alpha + \beta)) \\ \rho(1 - r \operatorname{sh}(\alpha - \beta)) \end{cases} \end{aligned}$$

Заметим, что при, соответственно,  $\alpha = -\beta$ ,  $\alpha = \beta$  получаем, что  $h_u^{-1} = \rho \Rightarrow$

$$\max_{u \in U} h_u^{-1} \rightarrow +\infty \text{ при } \rho \rightarrow +\infty$$

В этом случае максимум не достигается.

4.  $h_1 < 0$ ,  $h_2 > 0$ ,  $-h_2 = h_1 = h$

Запишем в координатах:

$$\begin{cases} u_1 = \rho \operatorname{ch} \alpha \\ u_2 = \rho \operatorname{sh} \alpha \end{cases}$$

$$\begin{aligned} h_u^{-1} &= h(u_1 - u_2) + \sqrt{u_1^2 - u_2^2} = h\rho(\operatorname{ch} \alpha - \operatorname{sh} \alpha) + \rho = \rho \left( 1 + \frac{h}{2}(e^\alpha + e^{-\alpha} - e^\alpha + e^{-\alpha}) \right) = \\ &= \rho(1 + h e^{-\alpha}) \end{aligned}$$

Можем найти такой  $\alpha$ , что

$$e^{-\alpha} = \frac{1}{2|h|} \Leftrightarrow \alpha = -\ln \frac{1}{2|h|} \Leftrightarrow \alpha = \ln 2|h|$$

Тогда

$$h_u^{-1} = \rho \left( 1 + h \frac{1}{2|h|} \right) = \frac{\rho}{2} \rightarrow +\infty \text{ при } \rho \rightarrow +\infty$$

Максимум в этом случае не достигается.

5.  $h_1 < 0$ ,  $h_2 < 0$ ,  $h_2 = h_1 = h$  Запишем в координатах:

$$\begin{cases} u_1 = \rho \operatorname{ch} \alpha \\ u_2 = \rho \operatorname{sh} \alpha \end{cases}$$

$$\begin{aligned} h_u^{-1} &= h(u_1 + u_2) + \sqrt{u_1^2 - u_2^2} = h\rho(\operatorname{ch} \alpha + \operatorname{sh} \alpha) + \rho = \rho \left( 1 + \frac{h}{2}(e^\alpha + e^{-\alpha} + e^\alpha - e^{-\alpha}) \right) = \\ &= \rho(1 + h e^\alpha) \end{aligned}$$

Можем найти такой  $\alpha$ , что

$$e^\alpha = \frac{1}{2|h|} \Leftrightarrow \alpha = \ln \frac{1}{2|h|}$$

Тогда

$$h_u^{-1} = \rho \left( 1 + h \frac{1}{2|h|} \right) = \frac{\rho}{2} \rightarrow +\infty \text{ при } \rho \rightarrow +\infty$$

Максимум в этом случае не достигается.

$$6. \quad h_1 < 0, \quad h_2 < |h_1| \Leftrightarrow h_1^2 - h_2^2 > 0$$

Введём новые координаты:

$$\begin{cases} u_1 = \rho \operatorname{ch} \alpha \\ u_2 = \rho \operatorname{sh} \alpha \end{cases} \quad \text{и} \quad \begin{cases} h_1 = -r \operatorname{ch} \beta \\ h_2 = r \operatorname{sh} \beta \end{cases} \quad \text{где } \rho, r \geq 0, \alpha, \beta \in \mathbb{R}$$

Тогда гамильтониан перепишется:

$$\begin{aligned} h_u^{-1} &= h_1 u_1 + h_2 u_2 + \sqrt{u_1^2 - u_2^2} = -r\rho \operatorname{ch} \beta \operatorname{ch} \alpha + r\rho \operatorname{sh} \beta \operatorname{sh} \alpha + \sqrt{\rho^2(\operatorname{ch}^2 \alpha - \operatorname{sh}^2 \alpha)} = \\ &= -r\rho(\operatorname{ch} \beta \operatorname{ch} \alpha - \operatorname{sh} \beta \operatorname{sh} \alpha) + \rho = -r\rho \operatorname{ch}(\alpha - \beta) + \rho = \rho(1 - r \operatorname{ch}(\alpha - \beta)) \end{aligned}$$

$\rho$  и  $\alpha$  независимы, поэтому максимизировать произведение надо, максимизируя каждый из сомножителей.

Чтобы максимизировать скобку  $1 - r \operatorname{ch}(\alpha - \beta)$ , надо минимизировать  $\operatorname{ch}(\alpha - \beta)$ . Функция  $\operatorname{ch}(\cdot)$  принимает минимальное значение в нуле, поэтому получаем условие  $\alpha = \beta$ . Теперь скобка выглядит  $1 - r$ .

Получаем 3 случая:

$$1 - r > 0 \Rightarrow \max_{u \in U} h_u^{-1} \rightarrow +\infty \text{ при } \rho \rightarrow +\infty$$

Максимум в этом случае не достигается.

$$1 - r < 0 \Rightarrow \max_{u \in U} h_u^{-1} \rightarrow 0 \text{ при } \rho \rightarrow 0$$

Максимум в этом случае не достигается.

$$1 - r = 0 \Rightarrow \max_{u \in U} h_u^{-1} = 0$$

Максимум в этом случае достигается.

### 2.6.2 Решение гамильтоновой системы

В итоге получаем такие случаи, когда максимум существует:

$$h_1 = -\operatorname{ch} \beta, \quad h_2 = \operatorname{sh} \beta, \quad u_1 = \rho \operatorname{ch} \beta, \quad u_2 = \rho \operatorname{sh} \beta, \quad \rho > 0$$

Иначе

$$h_1^2 - h_2^2 = 1, \quad h_1 < 0, \quad u_1 = -\rho h_1, \quad u_2 = \rho h_2, \quad \rho > 0 \Rightarrow u_1^2 - u_2^2 = \rho^2; \quad h_1 = -\frac{u_1}{\rho}, \quad h_2 = \frac{u_2}{\rho}$$

Выберем на этой кривой параметризацию таким образом, что

$$\begin{aligned} u_1^2 - u_2^2 = 1, \quad u_1 > 0 &\Rightarrow u_1 = \sqrt{u_2^2 + 1}, \quad h_1 = -\sqrt{u_2^2 + 1}, \quad h_2 = u_2 \\ h_1 = \frac{\xi_2}{\operatorname{ch} \theta} = -\sqrt{u_2^2 + 1}, \quad h_2 = \xi_1 = u_2 &\Rightarrow \xi_2 = -\operatorname{ch} \theta \sqrt{u_2^2 + 1}, \quad \xi_1 = u_2 \Rightarrow \\ &\Rightarrow \dot{\xi}_1 = \dot{h}_2, \quad h_1 \operatorname{ch} \theta = \xi_2, \quad u_1 = -h_1, \quad u_2 = h_2 \end{aligned}$$

$$\begin{cases} \dot{\xi}_1 = \xi_2 u_1 \frac{\operatorname{sh} \theta}{\operatorname{ch}^2 \theta} \\ \dot{\xi}_2 = 0 \\ \dot{\theta} = u_2 \\ \dot{\varphi} = \frac{u_1}{\operatorname{ch} \theta} \end{cases}$$

Из второго уравнения имеем  $\xi_2 = C_2 \equiv \text{const} \Rightarrow h_1 = \frac{C_2}{\operatorname{ch} \theta}$ .

А также запишем  $h_1 = -\operatorname{ch} \psi, \quad h_2 = \operatorname{sh} \psi \Rightarrow \dot{h}_2 = \dot{\psi} \operatorname{ch} \psi$

Поэтому система записывается так:

$$\begin{cases} \dot{\psi} \operatorname{ch} \psi = -C_2 h_1 \frac{\operatorname{sh} \theta}{\operatorname{ch}^2 \theta} = -h_1^2 \frac{\operatorname{sh} \theta}{\operatorname{ch} \theta} = -\operatorname{ch}^2 \psi \frac{\operatorname{sh} \theta}{\operatorname{ch} \theta} \\ \dot{\theta} = \operatorname{sh} \psi \\ \dot{\varphi} = -\frac{C_2}{\operatorname{ch}^2 \theta} = \frac{\operatorname{ch} \psi}{\operatorname{ch} \theta} \end{cases} \Rightarrow$$

$$\Rightarrow \dot{\psi} = -\operatorname{ch} \psi \frac{\operatorname{sh} \theta}{\operatorname{ch} \theta}, \quad \dot{\theta} = \operatorname{sh} \psi$$

Поделим первое уравнение на второе:

$$\begin{aligned} \frac{d\psi}{d\theta} = -\operatorname{cth} \psi \operatorname{th} \theta &\Leftrightarrow \operatorname{th} \psi d\psi = -\operatorname{th} \theta d\theta \Leftrightarrow \ln(\operatorname{ch} \psi) = -\ln(\operatorname{ch} \theta) + \ln D \Leftrightarrow \\ &\Leftrightarrow \operatorname{ch} \psi \operatorname{ch} \theta \equiv \operatorname{const} = D \geq 1 \end{aligned}$$

Случай  $D = 1$ .

Так как  $\operatorname{ch} x \geq 1$ , то оба гиперболических косинуса равны 1, поэтому  $\theta \equiv 0, \psi \equiv 0$ . Тогда  $\varphi \equiv -C_2 t + D_1$ .

Случай  $D > 1$ .

$$\begin{aligned} \operatorname{ch} \psi \operatorname{ch} \theta = D &\Rightarrow \operatorname{ch} \psi = \frac{D}{\operatorname{ch} \theta} \Rightarrow \operatorname{sh} \psi = \pm \sqrt{\frac{D^2}{\operatorname{ch}^2 \theta} - 1} \\ \dot{\theta} = \pm \sqrt{\frac{D^2}{\operatorname{ch}^2 \theta} - 1} &\Leftrightarrow \frac{\operatorname{ch} \theta d\theta}{\sqrt{D^2 - \operatorname{ch}^2 \theta}} = \pm dt \\ \int \frac{\operatorname{ch} \theta d\theta}{\sqrt{D^2 - \operatorname{ch}^2 \theta}} = \{\operatorname{sh} \theta = \alpha, \operatorname{ch} \theta d\theta = d\alpha\} &= \int \frac{d\alpha}{\sqrt{D^2 - 1 - \alpha^2}} = \arcsin \frac{\operatorname{sh} \theta}{\sqrt{D^2 - 1}} - C_0 \\ \arcsin \frac{\operatorname{sh} \theta}{\sqrt{D^2 - 1}} = \pm(t + C_0) &\Leftrightarrow \frac{\operatorname{sh} \theta}{\sqrt{D^2 - 1}} = \pm \sin(t + C_0) \Leftrightarrow \operatorname{sh} \theta = \pm \sqrt{D^2 - 1} \sin(t + C_0) \Leftrightarrow \\ \theta = \operatorname{arsh} \left( \pm \sqrt{D^2 - 1} \sin(t + C_0) \right) \end{aligned}$$

Тем самым нашли функцию  $\theta(t)$ .

Найдём теперь функцию  $\psi(t)$ :

$$\begin{aligned} \operatorname{sh} \psi = \pm \sqrt{\frac{D^2}{\operatorname{ch}^2 \theta} - 1} &= \pm \sqrt{\frac{D^2 - 1 - \operatorname{sh}^2 \theta}{1 + \operatorname{sh}^2 \theta}} = \pm \sqrt{\frac{D^2 - 1 - (D^2 - 1) \sin^2(t + C_0)}{1 + (D^2 - 1) \sin^2(t + C_0)}} = \\ &= \pm \sqrt{\frac{D^2 - 1 - (D^2 - 1) + (D^2 - 1) \cos^2(t + C_0)}{1 + (D^2 - 1) \sin^2(t + C_0)}} = \pm \frac{\sqrt{D^2 - 1} \cos(t + C_0)}{\sqrt{1 + (D^2 - 1) \sin^2(t + C_0)}} \end{aligned}$$

Тогда

$$\psi(t) = \operatorname{arsh} \left( \pm \frac{\sqrt{D^2 - 1} \cos(t + C_0)}{\sqrt{1 + (D^2 - 1) \sin^2(t + C_0)}} \right)$$

Осталось найти  $\varphi(t)$ :

$$\begin{aligned} \dot{\varphi} = -\frac{C_2}{\operatorname{ch}^2 \theta} = \frac{\operatorname{ch} \psi}{\operatorname{ch} \theta} = \frac{D}{\operatorname{ch}^2 \theta} = \frac{D}{1 + \operatorname{sh}^2 \theta} = \frac{D}{1 + (D^2 - 1) \sin^2(t + C_0)} &\Leftrightarrow \\ \Leftrightarrow d\varphi = \frac{D dt}{1 + (D^2 - 1) \sin^2(t + C_0)} \end{aligned} \quad (6)$$

Найдём соответствующий правой части интеграл:

$$\begin{aligned} \int \frac{dt}{a^2 \sin^2 t + 1} = \{\operatorname{tg} t = \alpha, \frac{dt}{\cos^2 t} = d\alpha, \frac{1}{\cos^2 t} = 1 + \operatorname{tg}^2 t, \sin^2 t = \frac{\operatorname{tg}^2 t}{1 + \operatorname{tg}^2 t}\} &= \\ = \int \frac{d\alpha}{(1 + \alpha^2)(\frac{a^2 \alpha^2}{1 + \alpha^2} + 1)} = \int \frac{d\alpha}{(a^2 + 1)\alpha^2 + 1} = \frac{1}{\sqrt{a^2 + 1}} \operatorname{arctg}(\alpha \sqrt{a^2 + 1}) + E_0 \end{aligned}$$

Отсюда получаем, что

$$\begin{aligned} \varphi = \frac{D}{\sqrt{D^2}} \operatorname{arctg} \left( \sqrt{D^2} \operatorname{tg}(t + C_0) \right) + E_0 &= \operatorname{arctg} \left( D \operatorname{tg}(t + C_0) \right) + E_0 \\ \theta = \operatorname{arsh} \left( \pm \sqrt{D^2 - 1} \sin(t + C_0) \right), \quad \psi(t) &= \operatorname{arsh} \left( \pm \frac{\sqrt{D^2 - 1} \cos(t + C_0)}{\sqrt{1 + (D^2 - 1) \sin^2(t + C_0)}} \right) \end{aligned}$$

### 2.6.3 Решение с начальными условиями $\theta(0) = \theta_0$ , $\varphi(0) = 0$

Начальные условия:

$$\theta(0) = 0, \varphi(0) = 0$$

$$0 = \varphi(0) = E_0$$

$$\operatorname{ch} \psi(0) = \frac{D}{\operatorname{ch} \theta(0)} = D, \text{ а } \sqrt{D^2 - 1} = \pm \operatorname{sh} \psi(0) \text{ в зависимости от знака } \psi(0)$$

$$0 = \theta(0) = \operatorname{arsh}(\pm \sqrt{D^2 - 1} \sin C_0) \Rightarrow C_0 \in \{k\pi | k \in \mathbb{Z}\} \text{ или } \psi(0) = 0$$

Рассмотрим набор функций при  $C_0 = 0$ ,  $\psi(0) \geq 0$ :

$$\begin{cases} \psi(t) = \operatorname{arsh} \left( \frac{\operatorname{sh}(\psi(0)) \cos t}{\sqrt{1 + \operatorname{sh}^2(\psi(0)) \sin^2 t}} \right) \\ \theta(t) = \operatorname{arsh} \left( \operatorname{sh}(\psi(0)) \sin t \right) \\ \varphi(t) = \operatorname{arctg} \left( \operatorname{ch}(\psi(0)) \operatorname{tg} t \right) \end{cases}$$

Этот набор функций является решением системы дифференциальных уравнений с начальными условиями  $\theta(0) = 0$ ,  $\varphi(0) = 0$ ,  $\psi(0) \geq 0$ , что следует из сделанных выше выкладок:

$$\begin{cases} \dot{\psi} = -\operatorname{ch} \psi \frac{\operatorname{sh} \theta}{\operatorname{ch} \theta} \\ \dot{\theta} = \operatorname{sh} \psi \\ \dot{\varphi} = \frac{\operatorname{ch} \psi}{\operatorname{ch} \theta} \end{cases}$$

Рассмотрим систему аналитических дифференциальных уравнений, где  $z \in \mathbb{C}$ :

$$\begin{cases} \psi'(z) = -\operatorname{ch} \psi(z) \frac{\operatorname{sh} \theta(z)}{\operatorname{ch} \theta(z)} \\ \theta'(z) = \operatorname{sh} \psi(z) \\ \varphi'(z) = \frac{\operatorname{ch} \psi(z)}{\operatorname{ch} \theta(z)} \end{cases}$$

Буквальной проверкой можно увидеть, что набор функций, определённый выше, с заменой вещественного  $t$  на комплексный  $z$  становится решениями данной системы аналитических дифференциальных уравнений с тем же начальным условием. Пусть ряд Тейлора этого решения сходится в некотором поликруге  $U_0$  с центром в точке  $(0, 0, \psi(0))$ . Теперь построим путь, соединяющий неотрицательное  $\psi(0)$  с отрицательным числом  $\gamma_1$ , осуществив аналитическое продолжение по цепочке поликругов (последний из них это поликруг  $U_1$  с центром  $(0, 0, \gamma_1)$ ), причём наш путь должен быть таким, что правые части системы тоже вдоль него аналитически продолжаются. Тогда, по теореме 6.5.1 из [4, стр. 196], мы получим решение с заданным начальным условием ( $\theta(0) = 0$ ,  $\varphi(0) = 0$ ,  $\psi(0) = \gamma_1 < 0$ ) в поликруге  $U_1$ . И так можно сделать для всех вещественных  $\psi(0)$ , поэтому решение исходного вещественного дифференциального уравнения выглядит так:

$$\begin{cases} \psi(t) = \operatorname{arsh} \left( \frac{\operatorname{sh}(\psi(0)) \cos t}{\sqrt{1 + \operatorname{sh}^2(\psi(0)) \sin^2 t}} \right) \\ \theta(t) = \operatorname{arsh} \left( \operatorname{sh}(\psi(0)) \sin t \right) \\ \varphi(t) = \operatorname{arctg} \left( \operatorname{ch}(\psi(0)) \operatorname{tg} t \right) \end{cases}$$

Обозначим  $c_0 = \operatorname{ch} \psi(0)$ ,  $s_0 = \operatorname{sh} \psi(0)$ :

$$\psi(t) = \operatorname{arsh} \left( \frac{s_0 \cos t}{\sqrt{1 + s_0^2 \sin^2 t}} \right)$$

$$\theta(t) = \operatorname{arsh} \left( s_0 \sin t \right) \quad (7)$$

$$\varphi(t) = \operatorname{arctg} \left( c_0 \operatorname{tg} t \right). \quad (8)$$

Обозначим также

$$X(t) = s_0 \sin t \quad (9)$$

$$Y(t) = c_0 \operatorname{tg} t \quad (10)$$



## 2.7 Продолжение решения при $t > \pi/2$

Вернёмся к уравнению гамильтоновой системы

$$\dot{\varphi} = \frac{D}{1 + (D^2 - 1) \sin^2 t}, \quad D > 1, \quad \varphi(0) = 0$$

Правая часть - гладкая ограниченная функция для всех  $t \geq 0$ , следовательно, и решение - гладкая функция для всех  $t \geq 0$ :

$$\varphi(t) = \int_0^t \frac{D}{1 + (D^2 - 1) \sin^2 \tau} d\tau$$

Мы его проинтегрировали и получили формулу, верную на полуинтервале  $t \in [0, \pi/2)$ :

$$\varphi_0(t) = \operatorname{arctg} (D \operatorname{tg} t)$$

С другой стороны, заметим, что производная является периодической функцией с периодом  $\pi$ .

В точках  $k\pi$ ,  $k \in \mathbb{Z}$  функция достигает максимального значения, а в точке  $n\pi/2$ ,  $n = 2l + 1, l \in \mathbb{Z}$  - минимального. Причём она чётная на каждом промежутке  $[(k-1)\pi, k\pi]$ ,  $k \in \mathbb{Z}$  относительно середины  $(2k-1)\pi/2$ .

В силу непрерывности решения, попробуем склеить её на каждом промежутке

$$\lim_{t \rightarrow \pi/2-0} \operatorname{arctg} (D \operatorname{tg} t) = \pi/2$$

По непрерывности,  $\lim_{t \rightarrow \pi/2+0} \varphi(t) = \pi/2$ .

В силу чётности производной относительно точки  $\pi/2$ , продлим решение на отрезок  $[\pi/2, \pi]$  по формуле:

$$t \in [0, \pi/2], \quad \varphi(\pi/2 + t) = \pi/2 + \pi/2 - \operatorname{arctg} (D \operatorname{tg} (\pi/2 - t)),$$

где первый член из условия, что  $\varphi(t) = \pi/2$ , а  $\pi/2 - \operatorname{arctg} (D \operatorname{tg} (\pi/2 - t)) = \pi/2 - \varphi_0(\pi/2 - t) = \int_{\pi/2}^{\pi/2+t} \frac{D}{1+(D^2-1)\sin^2 \tau} d\tau$ . Соответственно,  $\varphi(\pi) = \pi$ , и мы получаем общую формулу, где  $n \in \mathbb{N} \cup 0$ :

$$\varphi(\tau) = \begin{cases} n\pi + \varphi_0(\tau - n\pi), & \tau \in [n\pi, (2n+1)\pi/2] \\ (n+1)\pi - \varphi_0((n+1)\pi - \tau), & \tau \in [(2n+1)\pi/2, (n+1)\pi] \end{cases}$$

Вернёмся к формулам для решения:

$$\begin{cases} \theta(t) = \operatorname{arsh} (\operatorname{sh} (\psi(0)) \sin t) \\ \varphi(t) = \operatorname{arctg} (\operatorname{ch} (\psi(0)) \operatorname{tg} t) \end{cases}$$

и запишем новую функцию  $\varphi(t)$ ,  $t \in [0, +\infty)$  через  $\varphi_1(t) = \operatorname{arctg} (\operatorname{ch} (\psi(0)) \operatorname{tg} t)$ :

$$\begin{cases} \theta(t) = \operatorname{arsh} (\operatorname{sh} (\psi(0)) \sin t) \\ \varphi(t) = \begin{cases} n\pi + \varphi_1(t - n\pi), & t \in [n\pi, (2n+1)\pi/2] \\ (n+1)\pi - \varphi_1((n+1)\pi - t), & t \in [(2n+1)\pi/2, (n+1)\pi] \end{cases} \end{cases} \quad (11)$$

## 2.8 Экспоненциальное отображение и его свойства

Покажем, что  $A' = \{(\psi_0, t_0) : \psi_0 \in \mathbb{R}, t_0 \in (0, \pi)\}$  диффеоморфно  $C' = \{(\theta, \varphi) \in \mathbb{R}^2 : \operatorname{arctg} \operatorname{sh} \theta < \varphi < \pi - \operatorname{arctg} \operatorname{sh} \theta\}$ .

Покажем, что существует обратное отображение к

$$\begin{cases} \theta(t) = \operatorname{arsh} (\operatorname{sh} (\psi(0)) \sin t) \\ \varphi(t) = \begin{cases} \operatorname{arctg} (\operatorname{ch} (\psi(0)) \operatorname{tg} t), & t \in (0, \pi/2] \\ \pi - \operatorname{arctg} (\operatorname{ch} (\psi(0)) \operatorname{tg} (\pi - t)), & t \in (\pi/2, \pi) \end{cases} \end{cases}$$

Покажем, что формулы (9) и (10) задают диффеоморфизм множества  $A = \mathbb{R} \times (0, \pi/2)$  и  $B = \{(X, Y) \in \mathbb{R}^2 \mid Y > |X|\}$ . Найдём явно формулы для обратного отображения. Они окажутся гладкими функциями.

$$\psi_0 \in \mathbb{R}, \quad t_0 \in (0, \pi/2)$$

$$\begin{cases} X = \operatorname{sh} \psi_0 \sin t_0 \\ Y = \operatorname{ch} \psi_0 \operatorname{tg} t_0 \end{cases}$$

Выразим из первого уравнения, подставим во второе и воспользуемся формулами для тригонометрических и гиперболических функций:

$$\begin{aligned} \operatorname{sh} \psi_0 = \frac{X}{\sin t_0} &\Rightarrow Y = \frac{\sin t_0}{\cos t_0} \sqrt{1 + \frac{X^2}{\sin^2 t_0}} = \frac{\sqrt{X^2 + \sin^2 t_0}}{\cos t_0} \Rightarrow \\ &\Rightarrow Y^2 = \frac{X^2 + \sin^2 t_0}{\cos^2 t_0} = \frac{X^2 + \sin^2 t_0}{1 - \sin^2 t_0} \Rightarrow \\ &\Rightarrow Y^2(1 - \sin^2 t_0) = \sin^2 t_0 + X^2 \Leftrightarrow Y^2 - X^2 = (1 + Y^2) \sin^2 t_0 \Leftrightarrow \sin^2 t_0 = \frac{Y^2 - X^2}{1 + Y^2} \\ &\Leftrightarrow t_0 = \arcsin \sqrt{\frac{Y^2 - X^2}{1 + Y^2}} \Rightarrow \psi_0 = \operatorname{arsh} \left( X \sqrt{\frac{1 + Y^2}{Y^2 - X^2}} \right) - \text{гладкие функции на множестве В} \end{aligned}$$

Обратное отображение к отображению, заданному формулами (7), (8), выражается гладкими функциями:

$$t_0 = \arcsin \sqrt{\frac{\operatorname{tg}^2 \varphi - \operatorname{sh}^2 \theta}{1 + \operatorname{tg}^2 \varphi}}, \quad \psi_0 = \operatorname{arsh} \left( \operatorname{sh} \theta \sqrt{\frac{1 + \operatorname{tg}^2 \varphi}{\operatorname{tg}^2 \varphi - \operatorname{sh}^2 \theta}} \right)$$

При  $t \in (0, \pi/2)$ ,  $\psi(0) \in \mathbb{R}$  мы его нашли. Теперь для  $t = t_0 \in (\pi/2, \pi)$ ,  $\psi(0) = \psi_0 \in \mathbb{R}$ , что  $\{(\theta, \varphi) \in \mathbb{R}^2 : \pi/2 < \varphi < \pi - \operatorname{arctg} \operatorname{sh} \theta\}$ .

$$\begin{cases} \theta(t) = \operatorname{arsh} \left( \operatorname{sh}(\psi_0) \sin t_0 \right) \\ \varphi(t) = \pi - \operatorname{arctg} \left( \operatorname{ch}(\psi_0) [\operatorname{tg}(\pi - t_0)] \right) \end{cases} \Leftrightarrow \begin{cases} \operatorname{sh} \theta = \operatorname{sh}(\psi_0) \sin t_0 \\ \operatorname{tg}(\pi - \varphi) = \operatorname{ch}(\psi_0) [\operatorname{tg}(\pi - t_0)] \end{cases}$$

Так как  $t_0 \in (\pi/2, \pi)$ , то  $(\pi - t_0) \in (0, \pi/2) \Rightarrow \cos(\pi - t_0) = -\cos t_0 > 0$ ,  $\sin(\pi - t_0) = -\sin t_0 > 0 \Rightarrow \operatorname{tg}(\pi - t_0) = \operatorname{tg} t_0$ . По аналогичным соображениям  $\operatorname{tg}(\pi - \varphi) = \operatorname{tg} \varphi$ , так как  $\varphi \in (\pi/2, \pi)$ . Поэтому формулы выглядят так:

$$\begin{cases} \operatorname{sh} \theta = \operatorname{sh}(\psi_0) \sin t_0 \\ \operatorname{tg} \varphi = \operatorname{ch}(\psi_0) \operatorname{tg} t_0 \end{cases}$$

Это в точности формулы для случая  $t_0 \in (0, \pi/2)$ ,  $\psi_0 \in \mathbb{R}$  с некоторыми изменениями, поэтому

$$\begin{aligned} t_0 &= \pi - \arcsin \left( \sqrt{\frac{\operatorname{tg}^2 \varphi - \operatorname{sh}^2 \theta}{1 + \operatorname{tg}^2 \varphi}} \right) \\ \psi_0 &= \operatorname{arsh} \left( \operatorname{sh} \theta \sqrt{\frac{1 + \operatorname{tg}^2 \varphi}{\operatorname{tg}^2 \varphi - \operatorname{sh}^2 \theta}} \right) \end{aligned}$$

Надо понять, что происходит на линии  $t_0 = \pi/2$ ,  $\psi_0 \in \mathbb{R}$ .

$$\begin{aligned} \theta(\pi/2) &= \operatorname{arsh} \left( \operatorname{sh}(\psi_0) \sin(\pi/2) \right) = \psi_0 \\ \varphi(\pi/2) &= \pi/2 \end{aligned}$$

А что с формулами при  $\theta = \psi_0$ ,  $\varphi = \pi/2$ :

$$t_0 = \lim_{\varphi \rightarrow \pi/2} \arcsin \sqrt{\frac{\operatorname{tg}^2 \varphi - \operatorname{sh}^2 \psi_0}{1 + \operatorname{tg}^2 \varphi}}$$

Вычислим, воспользовавшись правилом Лопиталья:

$$\lim_{\varphi \rightarrow \pi/2} \frac{\operatorname{tg}^2 \varphi - \operatorname{sh}^2 \psi_0}{1 + \operatorname{tg}^2 \varphi} = \left( \frac{\infty}{\infty} \right) = \lim_{\varphi \rightarrow \pi/2} \frac{\operatorname{tg} \varphi \frac{2}{\cos^2 \varphi}}{\operatorname{tg} \varphi \frac{2}{\cos^2 \varphi}} = 1$$

Следовательно, существует предел композиции:

$$t_0 = \arcsin 1 = \pi/2 = \pi - \arcsin 1$$

$$\psi_0 = \lim_{\varphi \rightarrow \pi/2} \operatorname{arsh} \left( \operatorname{sh} \psi_0 \sqrt{\frac{1 + \operatorname{tg}^2 \varphi}{\operatorname{tg}^2 \varphi - \operatorname{sh}^2 \psi_0}} \right) = \operatorname{arsh} \left( \operatorname{sh} \psi_0 \right) = \psi_0$$

Следовательно существует диффеоморфизм областей  $A'$  и  $C'$ .

## 2.9 Множество достижимости из точки $\theta = 0, \varphi = 0$

Вернёмся к системе 2–4. Покажем, что множество достижимости это:

$$V = \{(\theta, \varphi) \in \mathbb{R}^2 : \varphi \geq \arctg(\operatorname{sh}|\theta|)\}$$

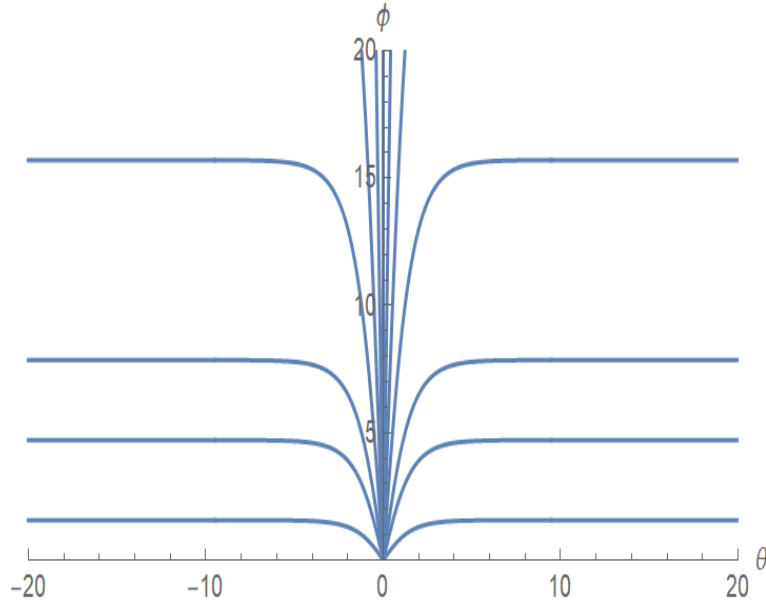
Рассмотрим постоянные управления  $u_1 = \text{const}$ ,  $u_2 = \text{const}$ , такие что  $u_1 > 0$ ,  $-u_1 \leq u_2 \leq u_1$  и найдём соответствующие траектории векторного поля с начальным условием  $\theta(0) = 0$ ,  $\varphi(0) = 0$ :

$$\begin{cases} \dot{\theta} = u_2 \\ \dot{\varphi} = \frac{u_1}{\operatorname{ch}\theta} \end{cases} \quad (12)$$

Решение:

$$\begin{cases} u_2 = 0, \theta(t) \equiv 0, \varphi(t) = u_1 t \\ u_2 \neq 0, \theta(t) = u_2 t, \varphi(t) = \frac{u_1}{u_2} \arctg(\operatorname{sh}(u_2 t)) \end{cases}$$

Рис. 5: Траектории при  $u_2 = 0$ , а также  $u_2 = \pm 1$ ,  $u_1 \in \{1, 3, 5, 10, 20, 50\}$



При  $u_2 = 0$  получаем вертикальную прямую  $\theta = 0$ . Она разбивает  $V$  на два непересекающихся множества:  $V_+ = V \cap \{\theta > 0\}$ ,  $V_- = V \cap \{\theta < 0\}$ .

Пусть  $u_2 = \pm 1 \Rightarrow u_1 \geq 1$  и  $u_2 t = \pm t$ ,  $\frac{u_1}{u_2} = \pm u_1 = u$ ,  $u \geq 1$  или  $u \leq -1$ . Поэтому

$$\begin{cases} \theta = \pm t \\ \varphi = u \arctg(\operatorname{sh}(\pm t)) \end{cases} \Rightarrow \begin{cases} \pm t = \theta \\ u = \frac{\varphi}{\arctg(\operatorname{sh}\theta)} \end{cases}$$

Отсюда понятно, что  $V_+$  биективно  $\{(s, u) : s > 0, u \geq 1\}$ , а  $V_-$  биективно  $\{(s, u) : s < 0, u \leq -1\}$ . Значит, что все точки множества  $V$  достижимы из  $\theta = 0, \varphi = 0$ .

Теперь покажем, что любое векторное поле  $u_1 X_1 + u_2 X_2$  при любом допустимом  $u$  в каждой точке границы  $V$  касается кривой  $\varphi = \arctg(\operatorname{sh}|\theta|)$  или же направлено внутрь области  $\operatorname{int}(V)$ . Для этого рассмотрим дифференциальные формы в соответствующих областях:

$$\begin{cases} d\varphi - \frac{d\theta}{\operatorname{ch}\theta} = d(\varphi - \arctg(\operatorname{sh}\theta)), \theta > 0 \\ d\varphi + \frac{d\theta}{\operatorname{ch}\theta} = d(\varphi - \arctg(\operatorname{sh}(-\theta))), \theta < 0 \end{cases}$$

В точках границы  $V \setminus (0, 0)$  при подстановке в эти формы произвольного векторного поля  $v$  знак результата укажет, направлено поле  $v$  внутрь  $V$ , по касательной к границе или наружу. Подставим наше поле  $u_1 X_1 + u_2 X_2 = \frac{u_1}{\operatorname{ch}\theta} \frac{\partial}{\partial \varphi} + u_2 \frac{\partial}{\partial \theta}$  при  $u_1^2 - u_2^2 \geq 0$ ,  $u_1 > 0 \Rightarrow u_1 + u_2 \geq 0$ ,  $u_1 - u_2 \geq 0$  (что следует из формулы  $u_1^2 - u_2^2 = (u_1 - u_2)(u_1 + u_2)$  и того, что  $u_1 > 0$ ). Поэтому

$$\begin{cases} \theta > 0, \frac{u_1}{\operatorname{ch}\theta} - \frac{u_2}{\operatorname{ch}\theta} \geq 0 \\ \theta < 0, \frac{u_1}{\operatorname{ch}\theta} + \frac{u_2}{\operatorname{ch}\theta} \geq 0 \end{cases}$$

Отсюда следует, что множество достижимости из точки  $\theta = 0, \varphi = 0$  за неотрицательное время равно  $V$ .

## 2.10 Область существования оптимальных траекторий

Сначала покажем, что множество достижимости из произвольной точки  $q_0$  такое же, как и из  $q_0 = 0$ . Решение системы (12) для  $q_0 = (\theta_0, \varphi_0)$  и постоянных  $u_1, u_2$ :

$$\begin{cases} u_2 = 0, \theta(t) \equiv \theta_0, \varphi(t) = u_1 t + \varphi_0 \\ u_2 \neq 0, \theta(t) = u_2 t + \theta_0, \varphi(t) = \frac{u_1}{u_2} \operatorname{arctg}(\operatorname{sh}(u_2 t)) + \varphi_0 \end{cases}$$

Поэтому по аналогичным соображениям, приведённым в предыдущей секции, множество достижимости из точки  $q_0$ :

$$V_{q_0} = \{(\theta, \varphi) \in \mathbb{R}^2 : \varphi \geq \operatorname{arctg}(\operatorname{sh}|\theta - \theta_0|) + \varphi_0\}$$

Также стоит отметить, что при отрицательном времени

$$V_{q_0}^- = \{(\theta, \varphi) \in \mathbb{R}^2 : \varphi \leq -\operatorname{arctg}(\operatorname{sh}|\theta - \theta_0|) + \varphi_0\}$$

Поэтому, доказав, что

$$\mathcal{B} = \{(\theta, \varphi) \in M \mid \pi - \operatorname{arctan} \sinh |\theta| > \varphi \geq \operatorname{arctan} \sinh |\theta|\} -$$

множество достижимости оптимальных траекторий из  $(0, 0)$ , то мы докажем, что для произвольного  $q_0$  это будет множество

$$\mathcal{B}_{q_0} = \{(\theta, \varphi) \in M \mid \varphi_0 + \pi - \operatorname{arctg} \operatorname{sh} |\theta - \theta_0| > \varphi \geq \varphi_0 + \operatorname{arctg} \operatorname{sh} |\theta - \theta_0|\},$$

Рассмотрим точку  $q_1 \in \mathcal{B}$ . Проверим, что для  $q_1 = (\theta_1, \varphi_1)$  выполняются условия теоремы 2 из статьи [5]:

1. Первое условие выполняется, так как  $\mathcal{B}_{q_0} \subset V_{q_0}$ .
2. Покажем, что  $V_{(0,0)} \cap V_{q_1}^-$  - компакт. Действительно, ведь их границы пересекаются в двух точках так, что мы получаем ограничения слева и справа, а ограничения сверху и снизу заданы самими кривыми  $\Phi_1 = \operatorname{arctg}(\operatorname{sh}|\theta|)$  и  $\Phi_2 = \varphi_1 - \operatorname{arctg}(\operatorname{sh}|\theta - \theta_0|)$ . Как пересекаются эти кривые? Так как обе они состоят из трёх частей, соответственно: вершина  $(0, 0)$  для  $\Phi_1$  ( $q_1$  для  $\Phi_2$ ), правая кривая при  $\theta > 0$  для  $\Phi_1$  ( $\theta - \theta_0 > 0$  для  $\Phi_2$ ), левая кривая при  $\theta < 0$  для  $\Phi_1$  ( $\theta - \theta_0 < 0$  для  $\Phi_2$ ).  $\lim_{\theta \rightarrow \pm\infty} \Phi_1 = \pi/2$ ,  $\lim_{\theta \rightarrow \pm\infty} \Phi_2 = \varphi_1 - \pi/2$ , причём стремление монотонное (производная имеет постоянный знак). Так как  $0 \leq \varphi_1 < \pi$ , то  $-\pi/2 \leq \varphi_1 - \pi/2 < \pi/2$ . Это значит, что  $\Phi_1|_{\theta>0} \cap \Phi_2|_{\theta-\theta_0>0}$  в единственной точке  $(\tilde{\theta}_+, \tilde{\varphi}_+)$  (самой крайней левой), как и  $\Phi_1|_{\theta<0} \cap \Phi_2|_{\theta-\theta_0<0}$  в единственной точке  $(\tilde{\theta}_-, \tilde{\varphi}_-)$  (самой крайней правой). Поэтому пересечение  $V_{(0,0)} \cap V_{q_1}^-$  можно заключить в прямоугольник  $\{(\theta, \varphi) : \tilde{\theta}_- \leq \theta \leq \tilde{\theta}_+, \tilde{\varphi}_- \leq \varphi \leq \tilde{\varphi}_+\}$ , из чего следует ограниченность. Замкнутость следует из того, что границы обоих множеств включены.

3. Покажем, что

$$\sup\{t_1 > 0 : \exists \text{ траектория } q(t) \text{ системы (2), (3), } t \in [0, t_1] : q(0) = q_0, q(t_1) = q_1\} < +\infty$$

Это следует из того, что  $\dot{\theta} = \frac{u_1}{\operatorname{ch}\theta} > 0$ , то есть  $\theta_1$  достижимо за конечное время при любых  $u_1, u_2 \in U$ .

## 2.11 Оптимальный синтез на нижней границе области $C'$

Всё написано в секции 1.11.

## 2.12 Оптимальный синтез в области $C'$

Исходя из того, что для любой точки  $q_1 = (\theta_1, \varphi_1) \in C'$  существует оптимальная траектория, а также из того, что экстремальная траектория, проходящая через  $q_1$ , единственная, следует, что для каждой точки  $q_1 \in C'$  оптимальная траектория, соединяющая её с  $(0, 0)$ , находится единственным образом из формул, написанных в предыдущей секции. Надо сначала найти  $\psi_{q_1}$ :

$$\psi_{q_1} = \operatorname{arsh} \left( \operatorname{sh} \theta_1 \sqrt{\frac{1 + \operatorname{tg}^2 \varphi_1}{\operatorname{tg}^2 \varphi_1 - \operatorname{sh}^2 \theta_1}} \right)$$

Далее, находим момент, в который мы достигаем точки  $q_1$ :

$$t_{q_1} = \begin{cases} \arcsin \sqrt{\frac{\operatorname{tg}^2 \varphi_1 - \operatorname{sh}^2 \theta_1}{1 + \operatorname{tg}^2 \varphi_1}}, & \varphi_1 \in (0, \pi/2) \\ \pi/2, & \varphi_1 = \pi/2 \\ \pi - \arcsin \sqrt{\frac{\operatorname{tg}^2 \varphi_1 - \operatorname{sh}^2 \theta_1}{1 + \operatorname{tg}^2 \varphi_1}}, & \varphi_1 \in (\pi/2, \pi) \end{cases}$$

Оптимальная траектория, соединяющая точки  $(0, 0)$  и  $q_1 = (\theta_1, \varphi_1) \in C'$ .

Если  $t_{q_1} < \pi/2$ , то

$$\begin{cases} \theta(t) = \operatorname{arsh}(\operatorname{sh}(\psi_{q_1}) \sin t) \\ \varphi(t) = \operatorname{arctg}(\operatorname{ch}(\psi_{q_1}) \operatorname{tg} t), & t \in (0, t_{q_1}) \end{cases} \quad (13)$$

Если  $t_{q_1} = \pi/2$ , то

$$\begin{cases} \theta(t) = \operatorname{arsh}(\operatorname{sh}(\psi_{q_1}) \sin t) \\ \varphi(t) = \begin{cases} \operatorname{arctg}(\operatorname{ch}(\psi_{q_1}) \operatorname{tg} t), & t \in (0, t_{q_1}) \\ \pi/2 \end{cases} \end{cases} \quad (14)$$

Если  $\pi/2 < t_{q_1} < \pi$ , то

$$\begin{cases} \theta(t) = \operatorname{arsh}(\operatorname{sh}(\psi_{q_1}) \sin t) \\ \varphi(t) = \begin{cases} \operatorname{arctg}(\operatorname{ch}(\psi_{q_1}) \operatorname{tg} t), & t \in (0, \pi/2) \\ \pi/2, & t = \pi/2 \\ \pi - \operatorname{arctg}(\operatorname{ch}(\psi_{q_1}) \operatorname{tg}(\pi - t)), & t \in (\pi/2, t_{q_1}), \end{cases} \end{cases} \quad (15)$$

### 2.13 Программа для Wolfram Mathematica для вычисления траектории в области $C'$

```
\[Psi][\[Theta]_, \[Phi]_] :=
  ArcSinh[Sinh[\[Theta]] Sqrt[(1 + Tan[\[Phi]]^2)/(Tan[\[Phi]]^2 -
    Sinh[\[Theta]]^2)]];
\[Tau]1[\[Theta]_, \[Phi]_] :=
  ArcSin[Sqrt[(Tan[\[Phi]]^2 - Sinh[\[Theta]]^2)/(1 + Tan[\[Phi]]^2)]];
\[Tau]2[\[Theta]_, \[Phi]_] := \[Pi] -
  ArcSin[Sqrt[(Tan[\[Phi]]^2 - Sinh[\[Theta]]^2)/(1 +
    Tan[\[Phi]]^2)]];
Ph1[t_, ps_] := ArcTan[Cosh[ps] Tan[t]];
Ph2[t_, ps_] := \[Pi] - ArcTan[Cosh[ps] Tan[\[Pi] - t]];
Th[t_, ps_] := ArcSinh[Sinh[ps] Sin[t]];
Manipulate[
  If[p[[2]] <= \[Pi]/2,
    Show[ParametricPlot[{Th[t, \[Psi][p[[1]], p[[2]]],
      Ph1[t, \[Psi][p[[1]], p[[2]]], {t, 0, \[Tau]1[p[[1]], p[[2]]},
      AxesLabel -> {\[Theta], \[Phi]},
      PlotRange -> {{-n, n}, {0, \[Pi]}}],
      Plot[ArcTan[Sinh[t]], {t, 0, n}, PlotStyle -> Green],
      Plot[-ArcTan[Sinh[t]], {t, -n, 0}, PlotStyle -> Green],
      Plot[\[Pi] - ArcTan[Sinh[t]], {t, 0, n}, PlotStyle -> Green],
      Plot[\[Pi] + ArcTan[Sinh[t]], {t, -n, 0}, PlotStyle -> Green]],
    Show[ParametricPlot[{Th[t, \[Psi][p[[1]], p[[2]]],
      Ph1[t, \[Psi][p[[1]], p[[2]]], {t, 0, \[Pi]/2},
      AxesLabel -> {\[Theta], \[Phi]},
      PlotRange -> {{-n, n}, {0, \[Pi]}}],
      ParametricPlot[{Th[t, \[Psi][p[[1]], p[[2]]],
      Ph2[t, \[Psi][p[[1]], p[[2]]], {t, \[Pi]/2, \[Tau]2[p[[1]],
      p[[2]]}], Plot[ArcTan[Sinh[t]], {t, 0, n}, PlotStyle -> Green],
```

```

Plot[-ArcTan[Sinh[t]], {t, -n, 0}, PlotStyle -> Green],
Plot[\[Pi] - ArcTan[Sinh[t]], {t, 0, n}, PlotStyle -> Green],
Plot[\[Pi] + ArcTan[Sinh[t]], {t, -n, 0},
PlotStyle -> Green]], {{p, {0, \[Pi]/3}}, Locator}, {{n, 3}, 0.1,
10000}]

```

## 2.14 Точки выше верхней границы $C'$

Зададим семейство допустимых кривых, зависящих от  $\alpha > 0$ , соединяющих начало координат с точкой  $q_1 = (\theta_1, \varphi_1)$ , т.ч.  $\varphi_1 > \pi - \operatorname{arctg}(\operatorname{sh}|\theta|)$ . Кривая состоит из 3 частей: 1) Двигаемся по правой нижней границе до точки  $(\theta, \varphi) = (\alpha, \operatorname{arctg}(\operatorname{sh}\alpha))$ , если  $\theta_1 > 0$ , по левой нижней границе до точки  $(-\alpha, -\operatorname{arctg}(\operatorname{sh}(-\alpha)))$ , если  $\theta_1 < 0$ ;

2) Двигаемся вертикально вверх до пересечения с перенесённой правой верхней границей, проходящей через точку  $(\theta_1, \varphi_1)$  при  $\theta_1 > 0$ , до пересечения с перенесённой левой верхней границей, проходящей через точку  $(\theta_1, \varphi_1)$  при  $\theta_1 < 0$ ;

3) Двигаемся по перенесённой верхней границе до точки  $(\theta_1, \varphi_1)$ .

Какими управлениями задаются каждая из этих частей?

Вспомним, как выглядит дифференциальное уравнение:

$$\begin{cases} \dot{\theta} = u_2 \\ \dot{\varphi} = \frac{u_1}{\operatorname{ch}\theta} \end{cases}$$

1)  $u_1 = 1, u_2 = 1$  при  $\theta_1 > 0, u_1 = 1, u_2 = -1$  при  $\theta_1 < 0; t \in [0, t_1]$ ;

2)  $u_1 = 1, u_2 = 0; t \in [t_1, t_2]$ ;

3)  $u_1 = 1, u_2 = -1$  при  $\theta_1 > 0, u_1 = 1, u_2 = 1$  при  $\theta_1 < 0; t \in [t_2, t_3]$ .

Вычислим значение функционала длины на такой кривой:

$$\int_0^{t_3} \sqrt{u_1^2 - u_2^2} dt = \left( \int_0^{t_1} + \int_{t_1}^{t_2} + \int_{t_2}^{t_3} \right) \sqrt{u_1^2 - u_2^2} dt = \int_{t_1}^{t_2} dt = t_2 - t_1$$

Поэтому нам на самом деле нужно найти  $t_2$  и  $t_1$ .

Сначала для  $\theta_1 > 0$ :

1) С начальным условием  $\theta(0) = 0, \varphi(0) = 0$  получаем решение  $(\theta(t), \varphi(t)) = (t, \operatorname{arctg} \operatorname{sh} t)$  на отрезке  $t \in [0, \alpha]$ ;

2) С начальным условием  $\theta(\alpha) = \alpha, \varphi(\alpha) = \operatorname{arctg}(\operatorname{sh}\alpha)$  получаем решение  $(\theta(t), \varphi(t)) = (\alpha, \frac{t}{\operatorname{ch}\alpha} - \frac{\alpha}{\operatorname{ch}\alpha} + \operatorname{arctg}(\operatorname{sh}\alpha))$  на отрезке  $t \in [\alpha, t_2]$ ;

3) С начальным условием  $\theta(t_3) = \theta_1, \varphi(t_3) = \varphi_1$  получаем решение  $(\theta(t), \varphi(t)) = (-t + t_3 + \theta_1, -\operatorname{arctg}(\operatorname{sh}(-t + t_3 + \theta_1)) + \varphi_1 + \operatorname{arctg}(\operatorname{sh}(\theta_1)))$  на отрезке  $t \in [t_2, t_3]$ .

$t_1 = \alpha$  мы нашли.

Осталось найти  $t_2$  из пересечения вертикальной прямой 2 с кривой 3. В точке  $t_2$  вертикальная прямая 2 достигает точку  $-\operatorname{arctg}(\operatorname{sh}\alpha) + \varphi_1 + \operatorname{arctg}(\operatorname{sh}(\theta_1))$ .

$$\begin{aligned} \frac{t_2}{\operatorname{ch}\alpha} - \frac{\alpha}{\operatorname{ch}\alpha} + \operatorname{arctg}(\operatorname{sh}\alpha) &= -\operatorname{arctg}(\operatorname{sh}\alpha) + \varphi_1 + \operatorname{arctg}(\operatorname{sh}(\theta_1)) \Leftrightarrow \\ \Leftrightarrow t_2 &= \left[ \frac{\alpha}{\operatorname{ch}\alpha} - 2\operatorname{arctg}(\operatorname{sh}\alpha) + \varphi_1 + \operatorname{arctg}(\operatorname{sh}(\theta_1)) \right] \operatorname{ch}\alpha \end{aligned}$$

И теперь длину кривой:

$$\begin{aligned} t_2 - t_1 &= \left[ \frac{\alpha}{\operatorname{ch}\alpha} - 2\operatorname{arctg}(\operatorname{sh}\alpha) + \varphi_1 + \operatorname{arctg}(\operatorname{sh}(\theta_1)) \right] \operatorname{ch}\alpha - \alpha = \\ &= [-2\operatorname{arctg}(\operatorname{sh}\alpha) + \varphi_1 + \operatorname{arctg}(\operatorname{sh}(\theta_1))] \operatorname{ch}\alpha = L(\alpha) \end{aligned}$$

Вычислим предел:

$$\begin{aligned} \lim_{\alpha \rightarrow +\infty} L(\alpha) &= \lim_{\alpha \rightarrow +\infty} \left( [-2\operatorname{arctg}(\operatorname{sh}\alpha) + \varphi_1 + \operatorname{arctg}(\operatorname{sh}(\theta_1))] \operatorname{ch}\alpha \right) = \\ &= \infty \cdot \operatorname{sign}(\varphi_1 + \operatorname{arctg}(\operatorname{sh}\theta_1) - \pi) = +\infty, \end{aligned}$$

так как  $\varphi_1 > \pi - \operatorname{arctg}\theta_1 \Leftrightarrow \varphi_1 + \operatorname{arctg}(\operatorname{sh}\theta_1) - \pi > 0$ .

Теперь  $\theta_1 < 0$ :

- 1) С начальным условием  $\theta(0) = 0$ ,  $\varphi(0) = 0$  получаем решение  $(\theta(t), \varphi(t)) = (-t, -\operatorname{arctg} \operatorname{sh}(-t))$  на отрезке  $t \in [0, \alpha]$ ;
- 2) С начальным условием  $\theta(\alpha) = -\alpha$ ,  $\varphi(\alpha) = -\operatorname{arctg}(\operatorname{sh}(-\alpha))$  получаем решение  $(\theta(t), \varphi(t)) = (-\alpha, \frac{t}{\operatorname{ch}(-\alpha)} + \frac{\alpha}{\operatorname{ch}(-\alpha)} - \operatorname{arctg}(\operatorname{sh}(-\alpha)))$  на отрезке  $t \in [\alpha, t_2]$ ;
- 3) С начальным условием  $\theta(t_3) = \theta_1$ ,  $\varphi(t_3) = \varphi_1$  получаем решение  $(\theta(t), \varphi(t)) = (t - t_3 + \theta_1, \operatorname{arctg}(\operatorname{sh}(t - t_3 + \theta_1)) + \varphi_1 - \operatorname{arctg}(\operatorname{sh}(\theta_1)))$  на отрезке  $t \in [t_2, t_3]$ .  
 $t_1 = \alpha$  мы нашли.

Осталось найти  $t_2$  из пересечения вертикальной прямой 2 с кривой 3. В точке  $t_2$  вертикальная прямая 2 достигает точку  $\operatorname{arctg}(\operatorname{sh}(-\alpha)) + \varphi_1 - \operatorname{arctg}(\operatorname{sh}(\theta_1))$ .

$$\begin{aligned} \frac{t_2}{\operatorname{ch}(-\alpha)} + \frac{\alpha}{\operatorname{ch}(-\alpha)} - \operatorname{arctg}(\operatorname{sh}(-\alpha)) &= \operatorname{arctg}(\operatorname{sh}(-\alpha)) + \varphi_1 - \operatorname{arctg}(\operatorname{sh}(\theta_1)) \Leftrightarrow \\ \Leftrightarrow t_2 &= \left[ -\frac{\alpha}{\operatorname{ch}(-\alpha)} + 2 \operatorname{arctg}(\operatorname{sh}(-\alpha)) + \varphi_1 - \operatorname{arctg}(\operatorname{sh}(\theta_1)) \right] \operatorname{ch}(-\alpha) \end{aligned}$$

И теперь длину кривой:

$$\begin{aligned} t_2 - t_1 &= \left[ -\frac{\alpha}{\operatorname{ch}(-\alpha)} + 2 \operatorname{arctg}(\operatorname{sh}(-\alpha)) + \varphi_1 - \operatorname{arctg}(\operatorname{sh}(\theta_1)) \right] \operatorname{ch}(-\alpha) - \alpha = \\ &= \left[ -2 \frac{\alpha}{\operatorname{ch} \alpha} - 2 \operatorname{arctg}(\operatorname{sh} \alpha) + \varphi_1 - \operatorname{arctg}(\operatorname{sh}(\theta_1)) \right] \operatorname{ch} \alpha = L(\alpha) \end{aligned}$$

Вычислим предел:

$$\begin{aligned} \lim_{\alpha \rightarrow +\infty} L(\alpha) &= \lim_{\alpha \rightarrow +\infty} \left( \left[ -2 \frac{\alpha}{\operatorname{ch} \alpha} - 2 \operatorname{arctg}(\operatorname{sh} \alpha) + \varphi_1 - \operatorname{arctg}(\operatorname{sh}(\theta_1)) \right] \operatorname{ch}(\alpha) \right) = \\ &= \infty \cdot \operatorname{sign}(\varphi_1 - \operatorname{arctg}(\operatorname{sh} \theta_1) - \pi) = +\infty, \end{aligned}$$

так как  $\theta_1 < 0$ ,  $\varphi_1 > \pi + \operatorname{arctg} \theta_1 \Leftrightarrow \varphi_1 - \operatorname{arctg}(\operatorname{sh} \theta_1) - \pi > 0$ .

Теперь разберём случай, когда  $\theta_1 = 0$ ,  $\varphi_1 > \pi$ . Рассмотрим кривые, которые идут справа (как когда  $\theta_1 > 0$ ).

- 1) С начальным условием  $\theta(0) = 0$ ,  $\varphi(0) = 0$  получаем решение  $(\theta(t), \varphi(t)) = (t, \operatorname{arctg} \operatorname{sh} t)$  на отрезке  $t \in [0, \alpha]$ ;
- 2) С начальным условием  $\theta(\alpha) = \alpha$ ,  $\varphi(\alpha) = \operatorname{arctg}(\operatorname{sh} \alpha)$  получаем решение  $(\theta(t), \varphi(t)) = (\alpha, \frac{t}{\operatorname{ch} \alpha} - \frac{\alpha}{\operatorname{ch} \alpha} + \operatorname{arctg}(\operatorname{sh} \alpha))$  на отрезке  $t \in [\alpha, t_2]$ ;
- 3) С начальным условием  $\theta(t_3) = 0$ ,  $\varphi(t_3) = \varphi_1$  получаем решение  $(\theta(t), \varphi(t)) = (-t + t_3, -\operatorname{arctg}(\operatorname{sh}(-t + t_3)) + \varphi_1)$  на отрезке  $t \in [t_2, t_3]$ .  
 $t_1 = \alpha$  мы нашли.

Осталось найти  $t_2$  из пересечения вертикальной прямой 2 с кривой 3. В точке  $t_2$  вертикальная прямая 2 достигает точку  $-\operatorname{arctg}(\operatorname{sh} \alpha) + \varphi_1 + \operatorname{arctg}(\operatorname{sh}(\theta_1))$ .

$$\begin{aligned} \frac{t_2}{\operatorname{ch} \alpha} - \frac{\alpha}{\operatorname{ch} \alpha} + \operatorname{arctg}(\operatorname{sh} \alpha) &= -\operatorname{arctg}(\operatorname{sh} \alpha) + \varphi_1 \Leftrightarrow \\ \Leftrightarrow t_2 &= \left[ \frac{\alpha}{\operatorname{ch} \alpha} - 2 \operatorname{arctg}(\operatorname{sh} \alpha) + \varphi_1 \right] \operatorname{ch} \alpha \end{aligned}$$

И теперь длину кривой:

$$\begin{aligned} t_2 - t_1 &= \left[ \frac{\alpha}{\operatorname{ch} \alpha} - 2 \operatorname{arctg}(\operatorname{sh} \alpha) + \varphi_1 \right] \operatorname{ch}(\alpha) - \alpha = \\ &= \left[ -2 \operatorname{arctg}(\operatorname{sh} \alpha) + \varphi_1 + \operatorname{arctg}(\operatorname{sh}(\theta_1)) \right] \operatorname{ch}(\alpha) = L(\alpha) \end{aligned}$$

Вычислим предел:

$$\begin{aligned} \lim_{\alpha \rightarrow +\infty} L(\alpha) &= \lim_{\alpha \rightarrow +\infty} \left( \left[ -2 \operatorname{arctg}(\operatorname{sh} \alpha) + \varphi_1 \right] \operatorname{ch}(\alpha) \right) = \\ &= \infty \cdot \operatorname{sign}(\varphi_1 - \pi) = +\infty, \end{aligned}$$

так как  $\varphi_1 > \pi$ .

## 2.15 Точки верхней границы $C'$

Предположим, что существует оптимальная траектория, соединяющая  $q_0$  и  $q_1 = (\theta_1, \pi - \operatorname{arctg}(\operatorname{sh}|\theta_1|))$ ,  $\theta_1 \neq 0$ . Тогда она удовлетворяет Принципу максимума Понтрягина. Однако мы нашли все траектории, удовлетворяющие ПМП. Анормальные траектории задают нижнюю границу множества  $C'$ , а все нормальные траектории задаются формулами (11). При  $n = 1$  эти формулы выглядят так:

$$\begin{cases} \theta(t) = \operatorname{arsh}(\operatorname{sh}(\psi_0) \sin t) \\ \varphi(t) = \begin{cases} \operatorname{arctg}(\operatorname{ch}(\psi_0) \operatorname{tg} t), & t \in (0, \pi/2] \\ \pi - \operatorname{arctg}(\operatorname{ch}(\psi_0) [\operatorname{tg}(\pi - t)]), & t \in (\pi/2, \pi) \end{cases} \end{cases}$$

Мы показали, что  $(0, \pi)_t \times \mathbb{R}_{\psi_0}$  диффеоморфно области  $C'$ , а при  $t = 0$  мы находимся в точке  $q_0$ , в то время как при  $t = \pi$  мы попадаем в точку  $(0, \pi)$  для любого  $\psi_0 \in \mathbb{R}$ . Поэтому для точек верхней не существует оптимальных траекторий. Для них даже не существует экстремальных траекторий (удовлетворяющих ПМП). Если  $\tilde{q} = (0, \pi)$ , то для неё существует континуум оптимальных траекторий, соединяющих  $q_0$  и  $\tilde{q}$ , что видно из формул.

Лемма 4.4 из [1]: Для Лоренцева расстояния  $d$ , если  $d(p, q) < \infty$ ,  $p_n \rightarrow p$ , и  $q_n \rightarrow q$ , то  $d(p, q) \leq \liminf d(p_n, q_n)$ . Если  $d(p, q) = \infty$ ,  $p_n \rightarrow p$ , и  $q_n \rightarrow q$ , то  $\lim_{n \rightarrow \infty} d(p_n, q_n) = \infty$ .

Так как наша задача является Лоренцевой, то мы можем воспользоваться этой леммой.

Рассмотрим последовательность точек  $q_n \rightarrow \tilde{q}$ , где  $q_n \in C'$ , а  $\tilde{q} \in \{(\theta, \varphi) : \theta \in \mathbb{R}, \varphi = \pi - \operatorname{arctg}(\operatorname{sh}|\theta|)\}$ . Предположим, что  $\lim_{n \rightarrow \infty} d(p, q) = \infty$ . Тогда, по лемме,  $\lim_{n \rightarrow \infty} d(q_0, q_n) = \infty$ . Но длину кривой выражает время  $t$ , а по нашим вычислениям, для всех  $q_n$  существует оптимальная траектория, и мы показали, что  $0 < t < \pi$ . Значит, что  $\lim_{n \rightarrow \infty} d(q_0, q_n) \leq \pi$ . Поэтому  $d(q_0, \tilde{q}) \leq \pi$ .

Теперь приведём последовательность  $q_n \in C'$ ,  $q_n \rightarrow \tilde{q} = (\tilde{\theta}, \pi - \operatorname{arctg}(\operatorname{sh}|\tilde{\theta}|))$ :  $q_n = (\theta_n, \varphi_n) = (\tilde{\theta}, \pi - \operatorname{arctg}(\operatorname{sh}|\tilde{\theta}|) - \frac{1}{n})$ ,  $n \in \mathbb{N}$ ,  $n \geq n_0$ , выбрав начальный  $n_0$  таким, что  $q_n \in C'$ , например, из условия, что  $\pi - \operatorname{arctg}(\operatorname{sh}|\tilde{\theta}|) - \frac{1}{n_0} \geq \pi/2 \Leftrightarrow n_0(\pi/2 - \operatorname{arctg}(\operatorname{sh}|\tilde{\theta}|)) \geq 1 \Leftrightarrow n_0 \geq \frac{1}{\pi/2 - \operatorname{arctg}(\operatorname{sh}|\tilde{\theta}|)}$ . Вычислим

$$d(q_0, q_n) = \pi - \arcsin \sqrt{\frac{\operatorname{tg}^2 \varphi_n - \operatorname{sh}^2 \theta_n}{1 + \operatorname{tg}^2 \varphi_n}} = \pi - \arcsin \sqrt{\frac{\operatorname{tg}^2 [\operatorname{arctg}(\operatorname{sh}|\tilde{\theta}|) + \frac{1}{n}] - \operatorname{sh}^2 \tilde{\theta}}{1 + \operatorname{tg}^2 [\operatorname{arctg}(\operatorname{sh}|\tilde{\theta}|) + \frac{1}{n}]}}$$

$$\lim_{n \rightarrow \infty} d(q_0, q_n) = \pi$$

Поэтому  $\forall \tilde{q} \in \{(\theta, \varphi) : \theta \in \mathbb{R}, \varphi = \pi - \operatorname{arctg}(\operatorname{sh}|\theta|)\}$  имеем  $d(q_0, \tilde{q}) = \pi$ .

## 2.16 Поля Киллинга

По определению, векторное поле называется полем Киллинга если, производная Ли метрики вдоль него равно нулю. Постараемся найти эти поля, воспользовавшись равенством (11.1) из [6]. Если  $X$  - поле Киллинга,  $V, W$  - векторные поля, то

$$X(g(V, W)) = g([X, V], W) + g(V, [X, W])$$

Распишем искомые поля по базису из собственных векторов метрики  $g = d\theta^2 - \operatorname{ch}^2 \theta d\varphi^2$ ,  $X = c_1 X_1 + c_2 X_2 = c_1 \frac{1}{\operatorname{ch} \theta} \frac{\partial}{\partial \varphi} + c_2 \frac{\partial}{\partial \theta}$

Составим уравнения на коэффициенты (сначала для  $V = X_1, W = X_2$ ):

$$\begin{aligned} [X, X_1] &= [c_1 X_1 + c_2 X_2, X_1] = \left[ \frac{c_1}{\operatorname{ch} \theta} \frac{\partial}{\partial \varphi} + c_2 \frac{\partial}{\partial \theta}, \frac{1}{\operatorname{ch} \theta} \frac{\partial}{\partial \varphi} \right] = \\ &= (c_2 \partial_\theta \left( \frac{1}{\operatorname{ch} \theta} \right) - \frac{1}{\operatorname{ch} \theta} \partial_\varphi \left( \frac{c_1}{\operatorname{ch} \theta} \right)) \frac{\partial}{\partial \varphi} + \left( -\frac{1}{\operatorname{ch} \theta} \partial_\varphi (c_2) \right) \frac{\partial}{\partial \theta} = \\ &= -\frac{c_2 \operatorname{sh} \theta}{\operatorname{ch}^2 \theta} \frac{\partial}{\partial \varphi} - \frac{\partial_\varphi c_1}{\operatorname{ch}^2 \theta} \frac{\partial}{\partial \varphi} - \frac{\partial_\varphi c_2}{\operatorname{ch} \theta} \frac{\partial}{\partial \theta} = -\frac{1}{\operatorname{ch} \theta} (c_2 \operatorname{sh} \theta + \partial_\varphi c_1) X_1 - \frac{\partial_\varphi c_2}{\operatorname{ch} \theta} X_2 \\ [X, X_2] &= \left[ \frac{c_1}{\operatorname{ch} \theta} \frac{\partial}{\partial \varphi} + c_2 \frac{\partial}{\partial \theta}, \frac{\partial}{\partial \theta} \right] = \\ &= \left( -\frac{\partial_\theta c_1}{\operatorname{ch} \theta} + c_1 \frac{\operatorname{th} \theta}{\operatorname{ch} \theta} \right) \frac{\partial}{\partial \varphi} - \partial_\theta c_2 \frac{\partial}{\partial \theta} = (-\partial_\theta c_1 + c_1 \operatorname{th} \theta) X_1 - \partial_\theta c_2 X_2 \end{aligned}$$



$$\begin{aligned}
X(g(X_1, X_1)) &= g([X, X_1], X_1) + g(X_1, [X, X_1]) \Leftrightarrow 0 = 2g([X, X_1], X_1) = \\
&= 2g\left(-\frac{1}{\operatorname{ch}\theta}(c_2 \operatorname{sh}\theta + \partial_\varphi c_1)X_1 - \frac{\partial_\varphi c_2}{\operatorname{ch}\theta}X_2, X_1\right) = \frac{2}{\operatorname{ch}\theta}(c_2 \operatorname{sh}\theta + \partial_\varphi c_1) \\
X(g(X_2, X_2)) &= g([X, X_2], X_2) + g(X_2, [X, X_2]) \Leftrightarrow 0 = 2g([X, X_2], X_2) = \\
&= 2((-\partial_\theta c_1 + c_1 \operatorname{th}\theta)X_1 - \partial_\theta c_2 X_2, X_2) = -2\partial_\theta c_2 \\
X(g(X_1, X_2)) &= g([X, X_1], X_2) + g(X_1, [X, X_2]) \Leftrightarrow \\
\Leftrightarrow 0 &= g\left(-\frac{1}{\operatorname{ch}\theta}(c_2 \operatorname{sh}\theta + \partial_\varphi c_1)X_1 - \frac{\partial_\varphi c_2}{\operatorname{ch}\theta}X_2, X_2\right) + g(X_1, (-\partial_\theta c_1 + c_1 \operatorname{th}\theta)X_1 - \partial_\theta c_2 X_2) \Leftrightarrow \\
&\Leftrightarrow 0 = -\frac{\partial_\varphi c_2}{\operatorname{ch}\theta} - (-\partial_\theta c_1 + c_1 \operatorname{th}\theta) \\
&\begin{cases} c_2 \operatorname{sh}\theta + \partial_\varphi c_1 = 0 \\ \partial_\theta c_2 = 0 \\ \partial_\varphi c_2 = \operatorname{ch}\theta \partial_\theta c_1 - c_1 \operatorname{sh}\theta \end{cases}
\end{aligned}$$

Из второго уравнения следует, что  $c_2(\varphi, \theta) = c_2(\varphi)$ . Далее, можем проинтегрировать первое уравнение

$$\partial_\varphi c_1 = -c_2(\varphi) \operatorname{sh}\theta \Leftrightarrow c_1 = -\operatorname{sh}\theta \int_0^\varphi c_2(s) ds + f(\theta) = -\operatorname{sh}\theta u(\varphi) + f(\theta)$$

Подставим в третье уравнение:

$$\begin{aligned}
u''(\varphi) &= \operatorname{ch}\theta[-\operatorname{ch}\theta u(\varphi) + f'(\theta)] - \operatorname{sh}\theta[-\operatorname{sh}\theta u(\varphi) + f(\theta)] \Leftrightarrow \\
&\Leftrightarrow u''(\varphi) = [-\operatorname{ch}^2\theta + \operatorname{sh}^2\theta]u(\varphi) + \operatorname{ch}\theta f'(\theta) - \operatorname{sh}\theta f(\theta) \Leftrightarrow \\
&\Leftrightarrow u''(\varphi) + u(\varphi) = \operatorname{ch}\theta f'(\theta) - \operatorname{sh}\theta f(\theta)
\end{aligned}$$

Видим, что левая часть зависит только от  $\varphi$ , а правая часть зависит только от  $\theta$ . Значит, что левая и правая части равны константе. Мы получаем два уравнения: на  $u(\varphi)$  и на  $f(\theta)$ :

$$u''(\varphi) + u(\varphi) = A = \operatorname{ch}\theta f'(\theta) - \operatorname{sh}\theta f(\theta)$$

Оба эти уравнения линейные. Решение первого находится практически моментально:

$$u(\varphi) = B_1 \cos \varphi + B_2 \sin \varphi + A$$

Второе решается классическим методом вариации постоянной:

$$\operatorname{ch}\theta f'(\theta) = f(\theta) \operatorname{sh}\theta$$

$$\frac{df}{f} = \operatorname{th}\theta d\theta$$

$$f = \hat{B} \operatorname{ch}\theta$$

Теперь варьируем постоянную  $\hat{B}$ :

$$f' = \hat{B}' \operatorname{ch}\theta + \hat{B} \operatorname{sh}\theta$$

$$\operatorname{ch}\theta(\hat{B}' \operatorname{ch}\theta + \hat{B} \operatorname{sh}\theta) - \operatorname{sh}\theta \hat{B} \operatorname{ch}\theta = A$$

$$\hat{B}' \operatorname{ch}^2\theta = A \Leftrightarrow \hat{B} = A \operatorname{th}\theta + B$$

$$f(\theta) = (A \operatorname{th}\theta + B) \operatorname{ch}\theta = A \operatorname{sh}\theta + B \operatorname{ch}\theta$$

Таким образом коэффициенты выглядят вот так:

$$c_1(\varphi, \theta) = -\operatorname{sh}\theta(B_1 \cos \varphi + B_2 \sin \varphi + A) + A \operatorname{sh}\theta + B \operatorname{ch}\theta = -\operatorname{sh}\theta(B_1 \cos \varphi + B_2 \sin \varphi) + B \operatorname{ch}\theta$$

$$c_2 = u'(\varphi) = -B_1 \sin \varphi + B_2 \cos \varphi$$

И мы получаем поля Киллинга:

$$c_1 X_1 + c_2 X_2 = (-\operatorname{sh}\theta(B_1 \cos \varphi + B_2 \sin \varphi) + B \operatorname{ch}\theta)X_1 + (-B_1 \sin \varphi + B_2 \cos \varphi)X_2$$

3 вектора:

$$\hat{X}_1 = \operatorname{ch} \theta X_1 = \partial_\varphi, \quad \hat{X}_2 = \operatorname{sh} \theta \cos \varphi X_1 + \sin \varphi X_2, \quad \hat{X}_3 = -\operatorname{sh} \theta \sin \varphi X_1 + \cos \varphi X_2$$

Вычислим коммутаторы:

$$\begin{aligned} [\hat{X}_1, \hat{X}_2] &= [\partial_\varphi, \frac{\operatorname{sh} \theta \cos \varphi}{\operatorname{ch} \theta} \partial_\varphi + \sin \varphi \partial_\theta] = -\frac{\operatorname{sh} \theta \sin \varphi}{\operatorname{ch} \theta} \partial_\varphi + \cos \varphi \partial_\theta = \hat{X}_3 \\ [\hat{X}_1, \hat{X}_3] &= [\partial_\varphi, -\frac{\operatorname{sh} \theta \sin \varphi}{\operatorname{ch} \theta} \partial_\varphi + \cos \varphi \partial_\theta] = \frac{\operatorname{sh} \theta \cos \varphi}{\operatorname{ch} \theta} \partial_\varphi - \sin \varphi \partial_\theta = -\hat{X}_2 \\ [\hat{X}_2, \hat{X}_3] &= [\frac{\operatorname{sh} \theta \cos \varphi}{\operatorname{ch} \theta} \partial_\varphi + \sin \varphi \partial_\theta, -\frac{\operatorname{sh} \theta \sin \varphi}{\operatorname{ch} \theta} \partial_\varphi + \cos \varphi \partial_\theta] = \\ &= \left( \operatorname{th} \theta \cos \varphi \operatorname{th} \theta (-\cos \varphi) + \sin \varphi (-\sin \varphi) \frac{1}{\operatorname{ch}^2 \theta} + \operatorname{th} \theta \sin \varphi \operatorname{th} \theta (-\sin \varphi) - \cos \varphi \cos \varphi \frac{1}{\operatorname{ch}^2 \theta} \right) \partial_\varphi + \\ &\quad + \left( \operatorname{th} \theta \cos \varphi (-\sin \varphi) - \operatorname{th} \theta (-\sin \varphi) \cos \varphi \right) \partial_\theta = \\ &= \left( -\operatorname{th}^2 \theta (\cos^2 \varphi + \sin^2 \varphi) - \frac{1}{\operatorname{ch}^2 \theta} (\sin^2 \varphi + \cos^2 \varphi) \right) \partial_\varphi = -\frac{\operatorname{sh}^2 \theta + 1}{\operatorname{ch}^2 \theta} \partial_\varphi = -\partial_\varphi = -\hat{X}_1 \end{aligned}$$

Получили такие соотношения:

$$[\hat{X}_1, \hat{X}_2] = \hat{X}_3, \quad [\hat{X}_2, \hat{X}_3] = -\hat{X}_1, \quad [\hat{X}_3, \hat{X}_1] = \hat{X}_2$$

Поэтому алгебра Киллинга изоморфна  $\mathfrak{sl}(2)$ .

## 2.17 Фазовые портреты полей Киллинга

Портреты получены с помощью Wolfram Mathematica с использованием функции StreamPlot.

## 2.18 Как посчитать лоренцево расстояние между произвольными двумя точками $\widetilde{H}_1^2$ ?

Отметим, что поле  $\hat{X}_1 = \partial_\varphi$  позволяет двигаться вверх-вниз.

Заметим также, что при  $\varphi = 0$  у поля  $\hat{X}_3$  первая координата зануляется, а вторая равна 1, что позволяет двигаться вправо-влево на этой прямой. Поэтому наш маршрут будет выглядеть так:

1.  $\theta_0 < 0, \varphi_0 < 0$   
Двигаемся вдоль поля  $\hat{X}_1$  до пересечения с прямой  $\varphi = 0$ . Двигаемся вдоль поля  $\hat{X}_3$  до точки  $(0, 0)$ .
2.  $\theta_0 < 0, \varphi_0 \geq 0$   
Двигаемся вдоль поля  $-\hat{X}_1$  до пересечения с прямой  $\varphi = 0$ . Двигаемся вдоль поля  $\hat{X}_3$  до точки  $(0, 0)$ .
3.  $\theta_0 \geq 0, \varphi_0 < 0$   
Двигаемся вдоль поля  $\hat{X}_1$  до пересечения с прямой  $\varphi = 0$ . Двигаемся вдоль поля  $-\hat{X}_3$  до точки  $(0, 0)$ .
4.  $\theta_0 \geq 0, \varphi_0 \geq 0$   
Двигаемся вдоль поля  $-\hat{X}_1$  до пересечения с прямой  $\varphi = 0$ . Двигаемся вдоль поля  $-\hat{X}_3$  до точки  $(0, 0)$ .

## Список литературы

- [1] Beem, J.K., Ehrlich, P.E., Easley, K.L.: *Global Lorentzian Geometry*. Monographs Textbooks Pure Appl. Math. 202, Marcel Dekker Inc. (1996)
- [2] А.А. Аграчев, Ю. Л. Сачков, *Геометрическая теория управления*, Физматлит, 2005.
- [3] Сачков Ю.Л. *Введение в геометрическую теорию управления*, М.: URSS, 2021.
- [4] Бибииков Ю. Н., *Курс обыкновенных дифференциальных уравнений. Учеб. пособие для ун-тов.* — М.: Высш. шк., 1991.— 303 с.: ил.

- [5] Ю. Л. Сачков, Существование сублоренцевых длиннейших, *Дифференциальные уравнения*. 59, 12, 1702–1709 (2023)
- [6] Yu.L. Sachkov, Lorentzian distance on the Lobachevsky plane, *submitted*.
- [7] N. Jacobson, Lie Algebras, Dover Publications, New York, 1979